

МИНИСТЕРСТВО ОБРАЗОВАНИЯ И НАУКИ РОССИЙСКОЙ ФЕДЕРАЦИИ
федеральное государственное бюджетное образовательное учреждение
высшего образования
«Тольяттинский государственный университет»

Институт математики, физики и информационных технологий
Кафедра «Прикладная математика и информатика»

02.03.03 Математическое обеспечение и администрирование
информационных систем

ТЕХНОЛОГИЯ ПРОГРАММИРОВАНИЯ

БАКАЛАВРСКАЯ РАБОТА

на тему Разработка алгоритмов кластеризации флюорографических данных

Студент _____ А.Р. Гилимханов _____

Руководитель _____ В.С. Климов _____

Допустить к защите

Заведующий кафедрой, к.тех.н, доцент, А.В. Очеповский _____

« _____ » _____ 2016 г.

Тольятти 2016

МИНИСТЕРСТВО ОБРАЗОВАНИЯ И НАУКИ РОССИЙСКОЙ ФЕДЕРАЦИИ
федеральное государственное бюджетное образовательное учреждение
высшего образования
«Тольяттинский государственный университет»

Институт математики, физики и информационных технологий
Кафедра «Прикладная математика и информатика»

УТВЕРЖДАЮ
Зав.кафедрой «Прикладная
математика и информатика»
_____ А.В.Очеповский

« ____ » _____ 2016 г.

ЗАДАНИЕ

на выполнение бакалаврской работы

Студент Гилимханов Артур Рустамович

1. Тема Разработка алгоритмов кластеризации флюорографических данных
2. Срок сдачи студентом законченной выпускной квалификационной работы 25 мая 2016 г.
3. Исходные данные к выпускной квалификационной работе: учебная литература, периодические издания, интернет-ресурсы
4. Содержание выпускной квалификационной работы (перечень подлежащих разработке вопросов, разделов): анализ состояния вопроса; разработка алгоритма кластеризации изображений; программная реализация предложенных решений; апробация предложенных решений на реальных данных; выводы по работе.
5. Ориентировочный перечень графического и иллюстративного материала Набор формул, объясняющих математический аппарат; демонстрация работы алгоритма на реальном наборе данных; графики и диаграммы, поясняющие результат работы системы.
6. Дата выдачи задания « 11 » января 2016 г.

Руководитель выпускной
квалификационной работы _____

_____ В.С. Климов

Задание принял к исполнению _____

_____ А.Р. Гилимханов

МИНИСТЕРСТВО ОБРАЗОВАНИЯ И НАУКИ РОССИЙСКОЙ ФЕДЕРАЦИИ
федеральное государственное бюджетное образовательное учреждение
высшего образования
«Тольяттинский государственный университет»

Институт математики, физики и информационных технологий
Кафедра «Прикладная математика и информатика»

УТВЕРЖДАЮ
Зав.кафедрой «Прикладная
математика и информатика»
А.В.Очеповский

«___» _____ 2016 г.

**КАЛЕНДАРНЫЙ ПЛАН
выполнения бакалаврской работы**

Студента Гилимханова Артура Рустамовича

по теме Разработка алгоритмов кластеризации флюорографических данных

Наименование раздела работы	Плановый срок выполнения раздела	Фактический срок выполнения раздела	Отметка о выполнении	Подпись руководителя
1. Анализ состояния вопроса	1.04.2016	1.04.2016	Выполнено	
2. Разработка алгоритма подбора товаров	11.04.2016	11.04.2016	Выполнено	
3. Программная реализация предложенных решений	25.04.2016	25.04.2016	Выполнено	
4. Апробация предложенных решений на реальных данных	9.05.2016	9.05.2016	Выполнено	
Оформление пояснительной записки	07.04.2016	07.04.2016	Выполнено	
Подготовка доклада и графического материала к защите	14.04.2016	14.04.2016	Выполнено	
Предварительная защита бакалаврской	20.05.2016- 20.06.2016	20.05.2016- 20.06.2016	Выполнено	

работы				
Проверка ВКР в системе «Антиплагиат.ВУЗ»	27.05.2016	27.05.2016	Выполнено	
Сдача пояснительной записки ВКР	20.06.2016	20.06.2016	Выполнено	

Руководитель выпускной
квалификационной работы

В.С. Климов

Задание принял к исполнению

А.Р. Гишимханов

Аннотация

Тема данной выпускной квалификационной работы: Разработка алгоритмов кластеризации флюорографических данных.

Работа направлена на решение актуальной проблемы – извлечение выводов на основе анализа графической информации, содержащейся в флюорографических изображениях.

Целью данной выпускной квалификационной работы является снижение нагрузки на медицинский персонал посредством программного обеспечения и автоматизации обработки данных флюорографического исследования.

Для достижения цели данной выпускной квалификационной работы были поставлены и решены следующие задачи:

- был произведен анализ флюорографических изображений (первая глава);
- была спроектирован и разработан алгоритм кластеризации флюорографических данных (вторая глава);
- была разработана программа с настройками выбора изображений, затем было произведено внедрение в него разработанного алгоритма кластеризации изображений (третья глава).

При разработке алгоритма кластеризации флюорографических изображений были использованы такие инструменты разработки как объектно-ориентированный язык программирования C#, интерфейс программирования приложений Windows Forms, одна из оптимальных сред разработки для программистов Microsoft Visual Studio, кластеризационная метрика Евклида.

Работа содержит в себе введение, в котором дается краткая характеристика вопроса, анализ вопроса и предложенное решение. 2 глава, в которой был спроектирован и разработан данный алгоритм, и в 3 главе было разработано программное обеспечение, в котором реализован алгоритм

флюорографических изображений, группировка снимков и сохранение итогов в «txt» файл и отдельные папки. Выпускная квалификационная работа содержит пояснительную записку объемом 41 страниц, включая 40 рисунков, список используемой литературы, состоящий из 20 источников.

Оглавление

Введение.....	3
1 Анализ состояния вопроса	4
1.1 Выбор программного обеспечения для реализации.....	4
1.2 Теоретическое исследование сегментации изображения	6
1.3 Теоретическое исследование алгоритма K-means	10
1.4 Способы реализации алгоритмов K-means	11
1.5 Выбор метода кластеризации	13
2 Описание требований программы.....	14
2.1 Требования к составу выполняемых функций.....	14
2.2 Эксплуатационное назначение программы.....	14
2.3 Требования к обеспечению надежного функционирования программы	14
2.4 Отказы из-за некорректных действий оператора	14
2.5 Климатические условия эксплуатации	14
2.6 Требования к защите информации и программ.....	15
3 Реализация программного обеспечения	16
3.1 Нормализация	16
3.2 Кластеризация	21
3.3 Изучение свойств кластера	23
3.4 Подача неизвестного ранее изображения.....	24
3.5 Интерфейс программы	26
3.6 Vitmap	30
3.7 Кластеризация флюорографических снимков	32
3.8 Полученные итоги.....	37
Заключение	40
Список используемой литературы	41
Приложение А Код программы	43

Введение

Флюорография - это рентгенологическое исследование, при котором рентгеновское изображение объекта фотографируется с флюоресцирующего экрана на фотоплёнку или на электронный носитель.

Стандартной процедурой является флюорография грудной клетки. Результаты исследования используются для диагностики заболеваний легких, сердца, грудных желез. С помощью флюорографии могут быть обнаружены опухоли, участки воспаления полости, представляющие собой патологические образования, каверны, клероз, фиброз и инородные предметы. Флюорография легких позволяет выявить злокачественную опухоль или туберкулёз ещё на ранней стадии, когда симптомы заболевания не проявляются и диагностика болезни затруднительна.

В нашей стране флюорографию проходят все занятое население РФ, поэтому для снижения нагрузки на медицинский персонал необходимо обеспечение автоматизации обработки данных флюорографического исследования.

Программа будет обрабатывать большое количество фотографий с помощью искусственного интеллекта, и затем группировать эти фото по группам заболеваний. Это значительно ускорит процесс проверки изображений на предмет выявления болезней у людей.

1 Анализ состояния вопроса

1.1 Выбор программного обеспечения для реализации

Microsoft Visual Studio – это одна из оптимальных сред разработки для программистов различных уровней подготовки. Microsoft Visual Studio – это передовое решение для разработки, позволяющее командам любого размера проектировать и создавать привлекательные — приложения, которые удовлетворяют самым взыскательным требованиям. В ней можно использовать расширенные средства моделирования, обнаружения и проектирования архитектуры, чтобы описать свою систему и обеспечить полную реализацию концепции архитектуры.

Microsoft Visual Studio построена на архитектуре, поддерживающей возможность использования встраиваемых дополнений — плагинов от сторонних разработчиков, что позволяет расширять возможности среды разработки (рисунок 1.1).

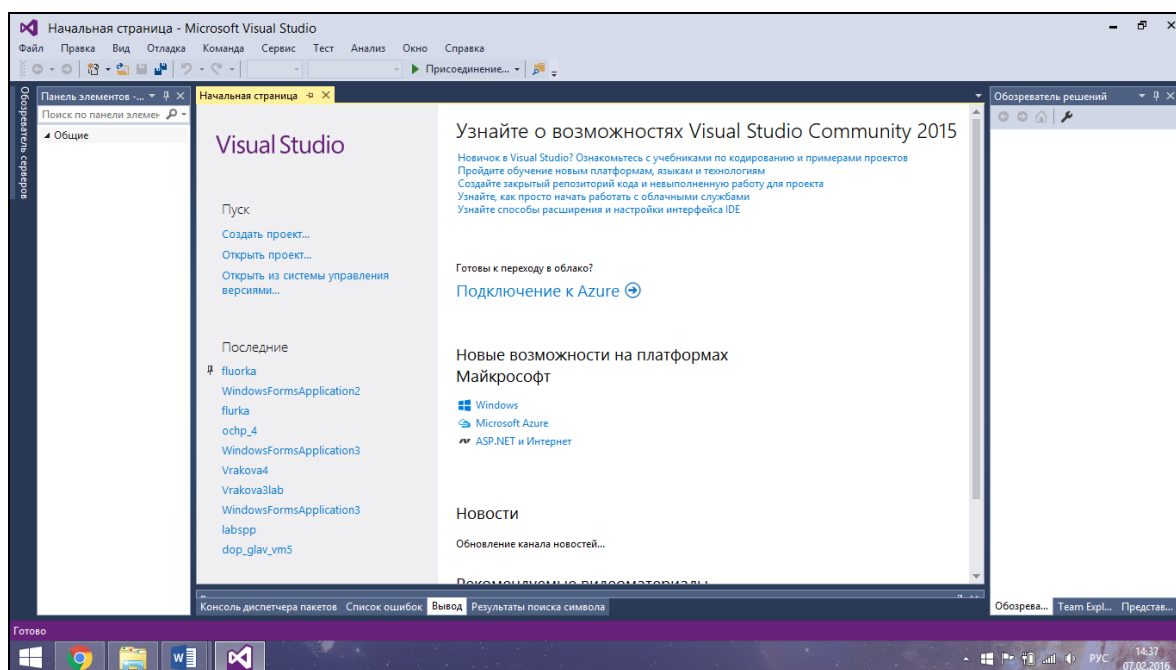


Рисунок 1.1 – Интерфейс Microsoft Visual Studio

Для реализации программного обеспечения обработки флюорографических изображений я выбрал объектно-ориентированный язык программирования C#. Он относится к языкам C-подобным синтаксисом. Данный язык программирования в системе Windows широко используется

для написания программ. C# очень прост в использовании для написания программ в Windows Forms.

Windows Forms — интерфейс программирования приложений (API), отвечающий за графический интерфейс пользователя [1] (рисунок 1.2).

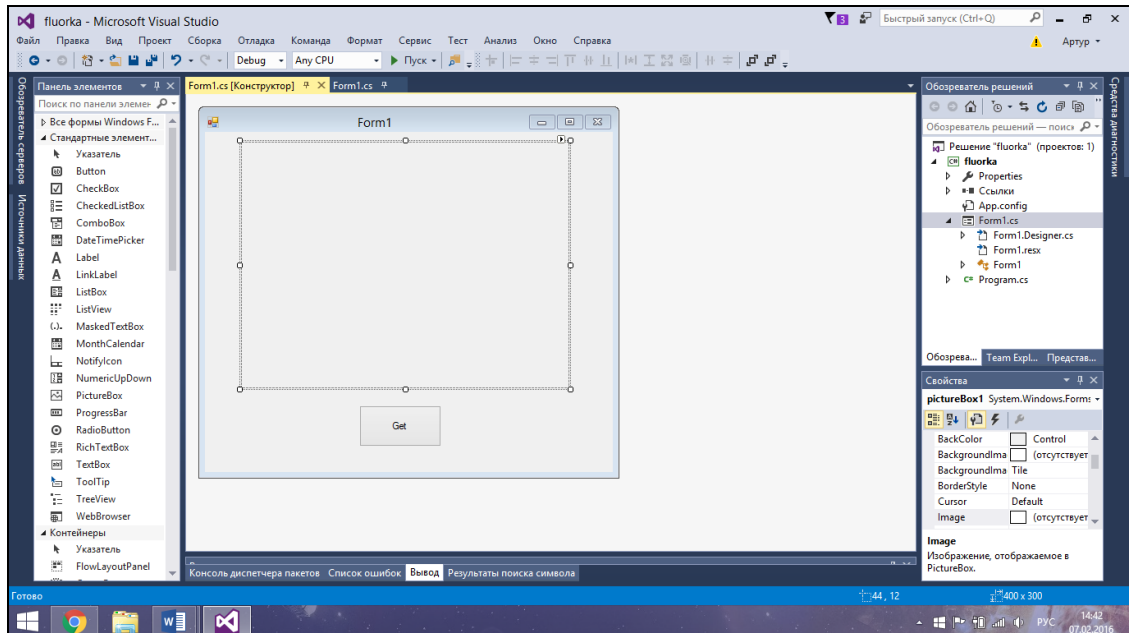


Рисунок 1.2 – интерфейс Windows Forms.

Так же в Windows Forms есть панель элементов, с которой с легкостью можно сделать приложение, потратив минимальное время на выполнение (рисунок 1.3).

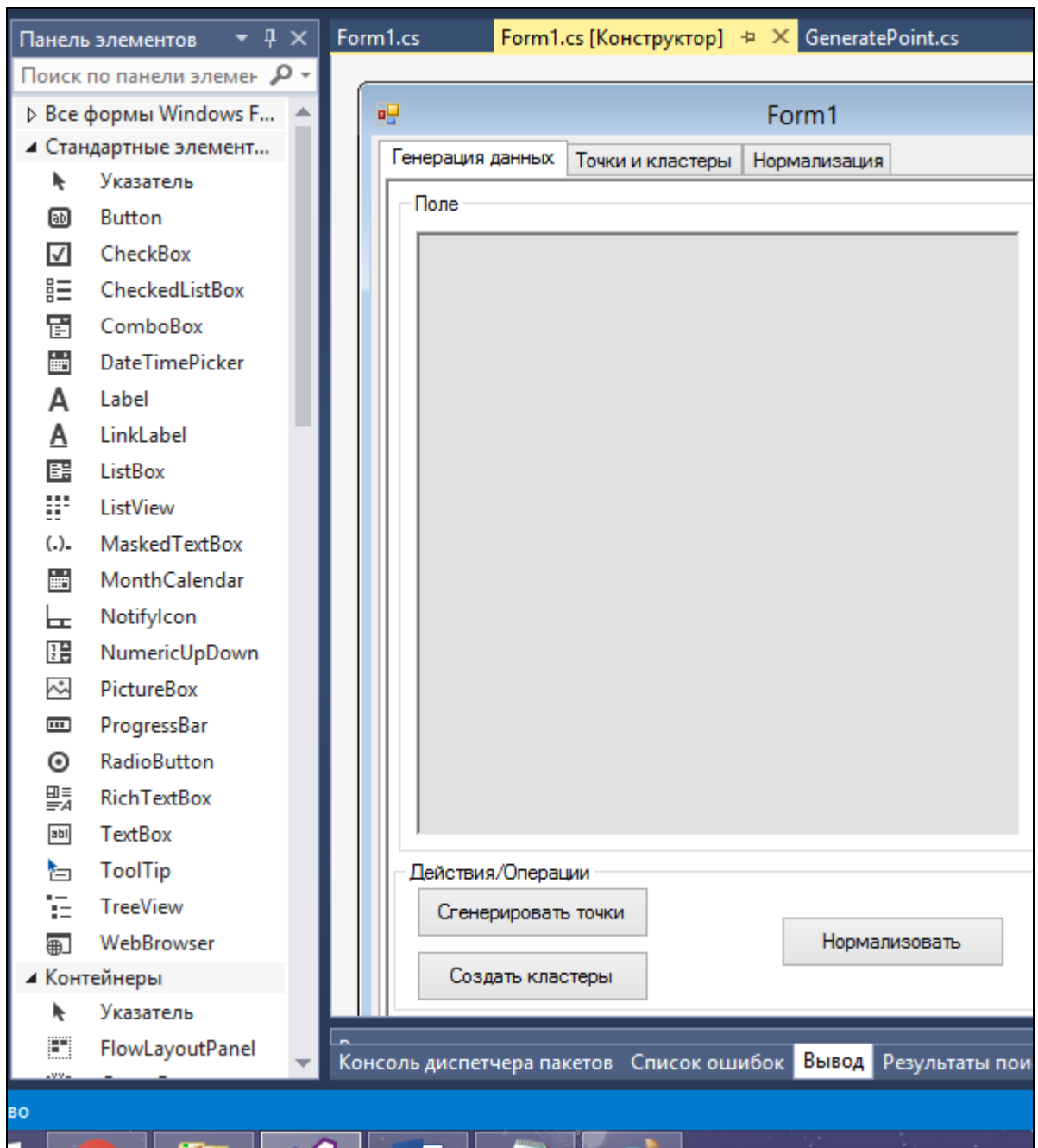


Рисунок 1.3 – Панель элементов в Windows Forms

1.2 Теоретическое исследование сегментации изображения

Сегментация – это процесс разбиения на группы. Наиболее часто используемыми являются два вида сегментации - сегментация по цветовым координатам для цветных изображений и сегментация по яркости для бинарных изображений. Алгоритмы сегментации характеризуются некоторыми параметрами надежности и достоверности обработки. Они зависят от того, насколько полно учитываются дополнительные

характеристики распределения яркости в областях объектов или фона, количество перепадов яркости, форма объектов и др.

Существует много изображений, которые содержат исследуемый объект достаточно однородной яркости на фоне другой яркости. В качестве примера можно привести рукописный текст, ряд медицинских изображений и т.д. Если яркости точек объекта резко отличаются от яркостей точек фона, то решение задачи установления порога является несложной задачей. На практике это не так просто, поскольку исследуемое изображение подвергается воздействию шума и на нем допускается некоторый разброс значений яркости. Известно несколько аналитических подходов к пороговому ограничению по яркости. Один из методов состоит в установлении порога на таком уровне, при котором общая сумма элементов с подпороговой яркостью согласована с априорными вероятностями этих значений яркости.

Аналогичные подходы можно применить для обработки цветных и спектральнозональных изображений. Существует также такой вид сегментации как контурная сегментация. Довольно часто анализ изображений включает такие операции, как получение внешнего контура изображений объектов и запись координат точек этого контура. Известно три основных подхода к представлению границ объекта: аппроксимация кривых, прослеживание контуров и связывание точек перепадов. Для полноты анализа следует отметить, что есть также текстурная сегментация и сегментация формы [2].

Рассмотрим один из подходов решения задачи сегментации изображений - метод водораздела. В данном методе берется изображение как карта местности, где яркость представляется как значение высот относительно уровней. Заполняя эту местность водой, мы получим бассейны, где места объединения бассейнов на данной карте выделяются как линии водораздела.

Метод маркерного водораздела – это разделение предметов на изображении, которые соприкасаются друг с другом. Он является

неотъемлемой частью обработки изображений, так же является одним из наиболее эффективных методов сегментации изображений. Для реализации данного метода обработки изображений выполняются определенные шаги, такие как:

- 1) Шаг 1: Считывание цветного изображения и преобразование его в полутоновое (рисунок 1.4);



Рисунок 1.4 – Полученное изображение после 1 шага

- 2) Шаг 2: Использование значения градиента в качестве функции сегментации (рисунок 1.5);

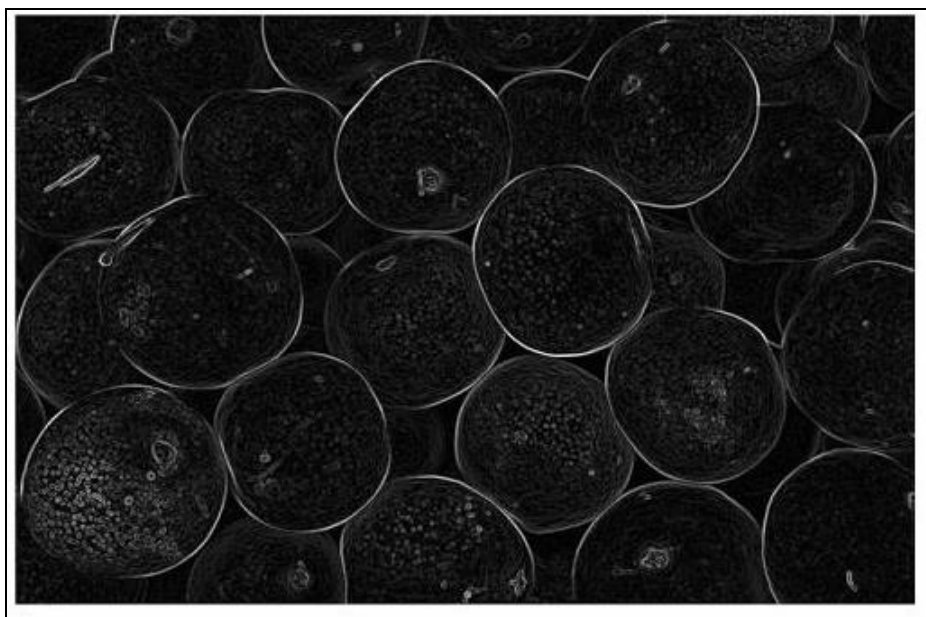


Рисунок 1.5 – Полученное изображение после 2 шага

3) Шаг 3: Маркировка объектов переднего плана (рисунок 1.6);

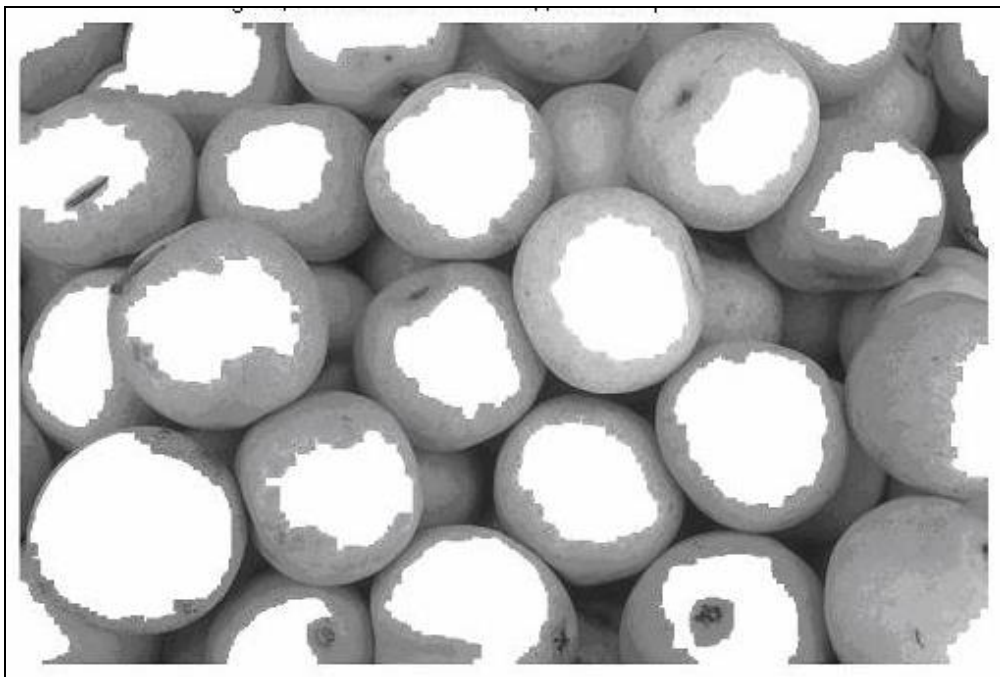


Рисунок 1.6 – Полученное изображение после 3 шага

4) Шаг 4: Вычисление маркеров фона (рисунок 1.7);

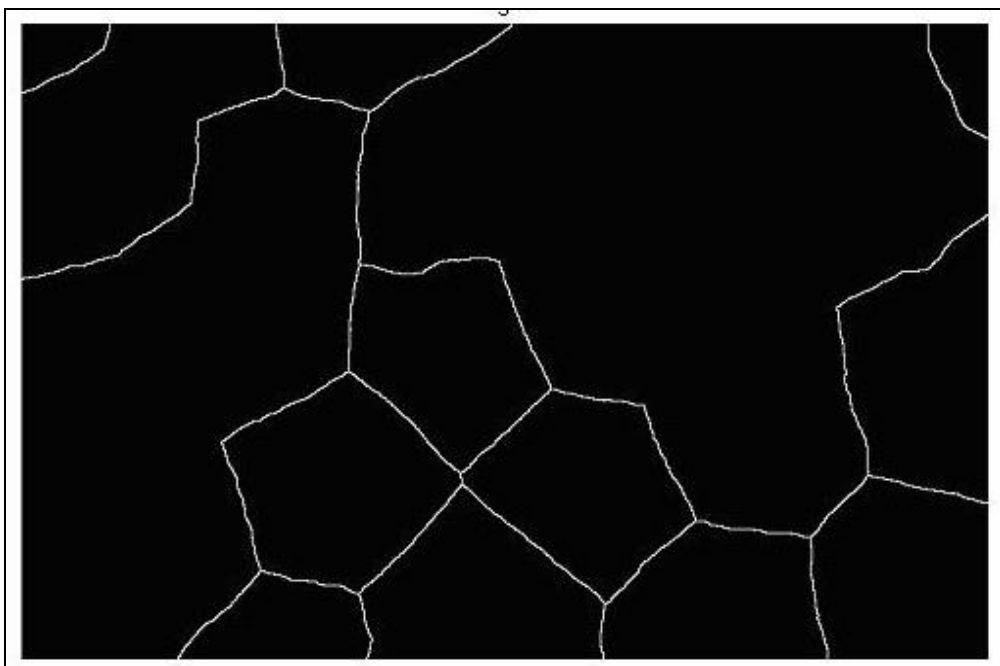


Рисунок 1.7 – Полученное изображение после 4 шага

5) Шаг 5: Вычисление по методу маркерного водораздела на основании модифицированной функции сегментации (рисунок 1.8);

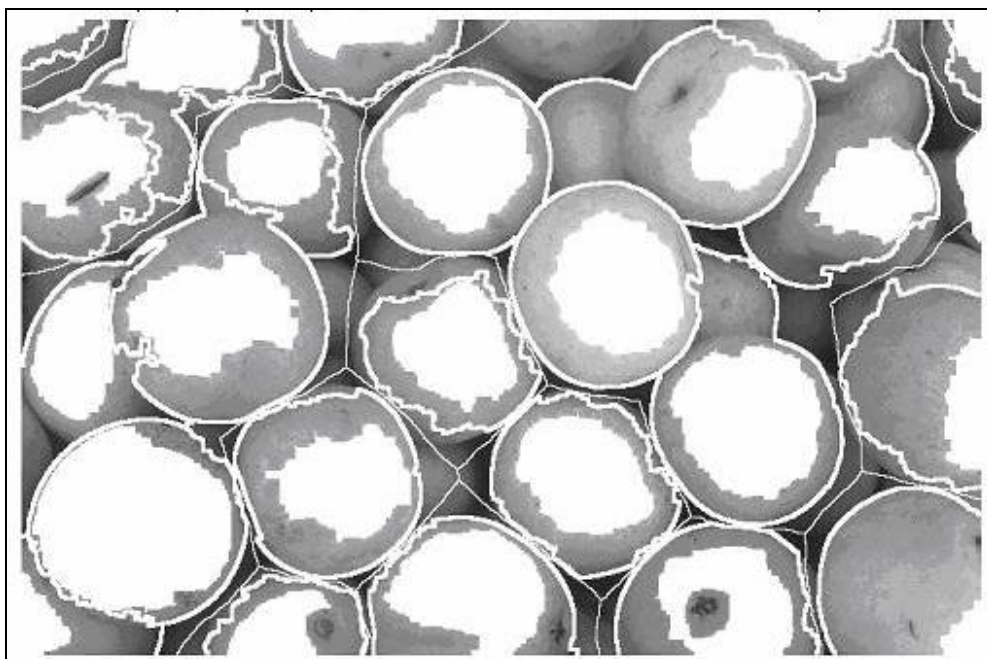


Рисунок 1.8 – Полученное изображение после 5 шага

б) Шаг 6: Визуализация результата обработки (рисунок 1.9).

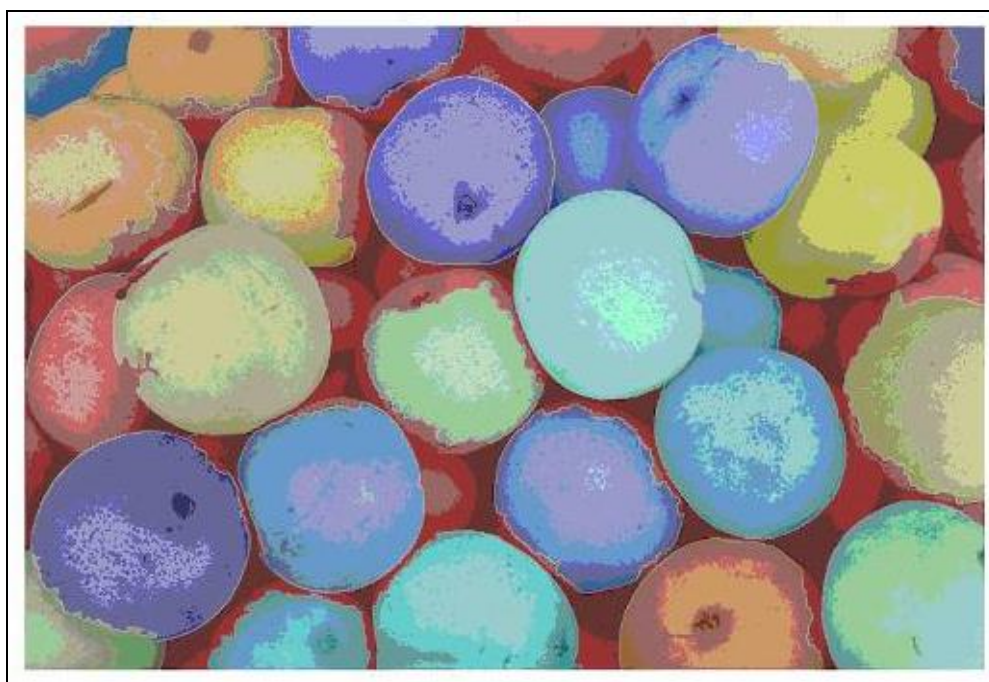


Рисунок 1.9 – Полученное изображение после 6 шага

Таким образом мы получили изображение, в котором мы провели сегментацию, и разделили объекты друг от друга.

1.3 Теоретическое исследование алгоритма K-means

Кластеризация – объединение в группы схожих объектов – является одной из фундаментальных задач в области анализа данных. Список прикладных областей, где она применяется, широк: сегментация

изображений, маркетинг, борьба с мошенничеством, прогнозирование, анализ текстов и многие другие. На современном этапе кластеризация часто выступает первым шагом при анализе данных. После выделения схожих групп применяются другие методы, для каждой группы строится отдельная модель.

Задачу кластеризации в том или ином виде формулировали в таких научных направлениях, как статистика, распознавание образов, оптимизация, машинное обучение. Отсюда многообразие синонимов понятию кластер – класс, таксон, сгущение.

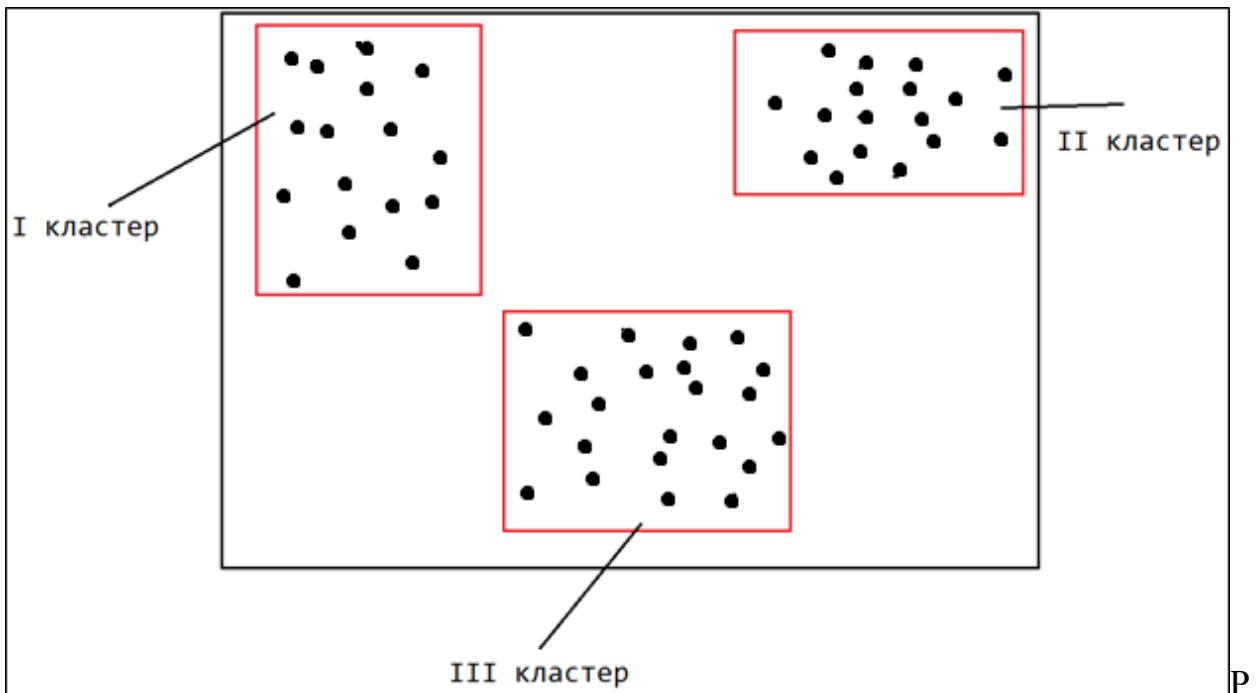
На сегодняшний момент число методов разбиения групп объектов на кластеры довольно велико – несколько десятков алгоритмов и еще больше их модификаций.

Основная идея заключается в том, что на каждой итерации пересчитывается центр масс для каждого кластера, полученного на предыдущем шаге, затем векторы разбиваются на кластеры вновь в соответствии с тем, какой из новых центров оказался ближе по выбранной метрике.

Алгоритм завершается, когда на какой-то итерации не происходит изменения центра масс кластеров. Это происходит за конечное число итераций, так как количество возможных разбиений конечного множества конечно, а на каждом шаге суммарное квадратичное отклонение V не увеличивается, поэтому заикливание невозможно.

1.4 Способы реализации алгоритмов K-means

Действие алгоритма заключается в том, что он стремится минимизировать суммарное квадратичное отклонение точек кластеров от центров этих кластеров (рисунок 1.10):



исунок 1.10 – Алгоритм кластеризации K-Means

Технология метода кластеризации K-means может быть реализована множеством путей. Основа у них одна – на вход подаются данные и количество кластеров (групп) [3].

Основное отличие у технологий кластеризации - метрика, на основе которой будет происходить «группировка» входных данных. Рассмотрим некоторые из них:

Метрика Евклида - эта метрика является наиболее используемой и отражает среднее различие между объектами (1) [4].

$$d_{ij} = \sqrt{\sum_{k=1}^n (x_{ik} - x_{jk})^2} \quad (1)$$

Метрика нормированного Евклида. Нормализованные евклидовы расстояния более подходят для переменных, измеряемых в различных единицах или значительно различающихся по величине [5].

Если дисперсии по характеристикам отличаются друг от друга, то (2):

$$d_{ij} = \sqrt{\sum_{k=1}^n \frac{(x_{ik} - x_{jk})^2}{S_k^2}} \quad (2)$$

Если масштаб данных различен, например, одна переменная измерена в стэнах, а другая в баллах, то для обеспечения одинакового влияния всех характеристик на близость объектов используется следующая формула подсчета расстояния (3) [6]:

$$d_{ij} = \sqrt{\sum_{k=1}^n \frac{(x_{ik} - x_{jk})^2}{S_{k \max}^2}} \quad (3)$$

City-block - Метрика city-block (манхэттенская метрика, получившая свое название в честь района Манхэттен, который образуют улицы, расположенные в виде пересечения параллельных прямых под прямым углом; как правило, применяется для номинальных или качественных переменных) (4) [7]:

$$d_{ij} = \sqrt{\sum_{k=1}^n |x_{ik} - x_{jk}|} \quad (4)$$

1.5 Выбор метода кластеризации

Для разработки моей программы и выполнения кластеризации я выбрал метрику Евклида. Чаще всего применяют расстояние Евклида, которое позволяет формировать центры кластеров [8].

2 Описание требований программы

2.1 Требования к составу выполняемых функций

Программа должна обеспечивать возможность выполнения следующих функций:

- Обработка флюорографических изображений;
- Группировка снимков по типу заболеваний;
- Сохранение результатов работы программы в формате txt.

2.2 Эксплуатационное назначение программы

Программа может эксплуатироваться в государственных учреждениях здравоохранения. Программа может использоваться медицинским персоналом в качестве инструмента поддержки принятия решения.

2.3 Требования к обеспечению надежного функционирования программы

Надежное (устойчивое) функционирование программы должно быть обеспечено выполнением организационно-технических мероприятий, перечень которых приведен ниже:

- организацией бесперебойного питания технических средств;
- выполнением требований ГОСТ Р 51583-2000. Защита информации.

Порядок создания автоматизированных систем в защищенном исполнении.

2.4 Отказы из-за некорректных действий оператора

Надежность системы не должна зависеть от данных, вводимым пользователем.

2.5 Климатические условия эксплуатации

Климатические условия эксплуатации, при которых должны обеспечиваться заданные характеристики, должны удовлетворять требованиям, предъявляемым к техническим средствам в части условий их эксплуатации – ГОСТ 15150-69.

2.6 Требования к защите информации и программ

В Системе должен быть обеспечен надлежащий уровень защиты информации в соответствии с законом о защите персональной информации и программного комплекса в целом от несанкционированного доступа - “Об информации, информатизации и о защите информации” РФ N 149-ФЗ от 27.07.2006.

3 Реализация программного обеспечения

Разработка алгоритма флюорографических данных построена на 4 основных этапах:

- 1) Нормализация изображений.
- 2) Кластеризация изображений.
- 3) Изучение свойств каждого кластера.
- 4) Подача ранее неизвестного изображения.

Далее подробно расписаны каждые этапы.

3.1 Нормализация

Под нормализацией изображения понимается процесс преобразования изображений к единообразному виду. Первое что нужно сделать – выровнять изображение относительно позвоночника человека, для того что бы все изображения были схожи (рисунок 3.1).

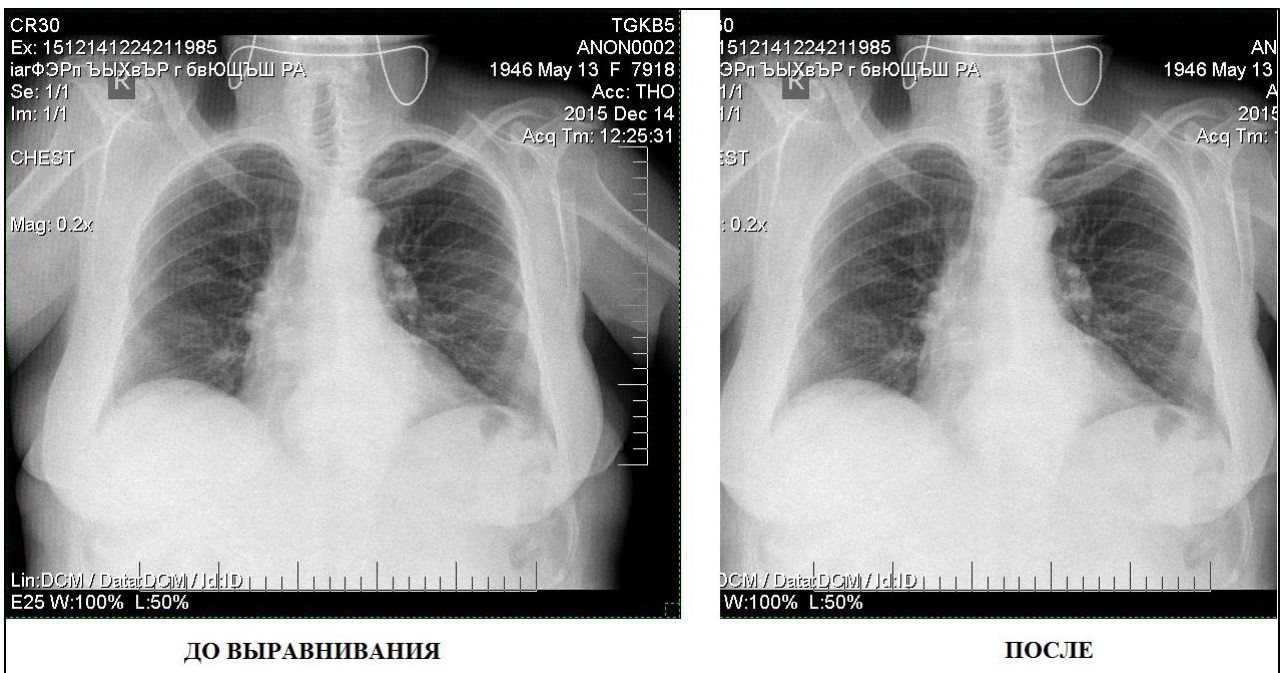


Рисунок 3.1 – Вырывание изображения по оси позвоночника человека

Следующим шагом нормализации является приведение изображений к одной цветовой гамме. В моем программном обеспечении реализуется это при помощи класса `Bitmap`, метода `GetPixel` и математической формулы.

Программа будет извлекать фотографии из выбранной папки, и при помощи класса `Bitmap` обрабатывать изображение. `Bitmap` инкапсулирует точечный рисунок, состоящий из данных пикселей графического изображения и атрибутов рисунка [2]. Объект `Bitmap` используется для работы с изображениями, определяемыми данными пикселей (рисунок 3.2).

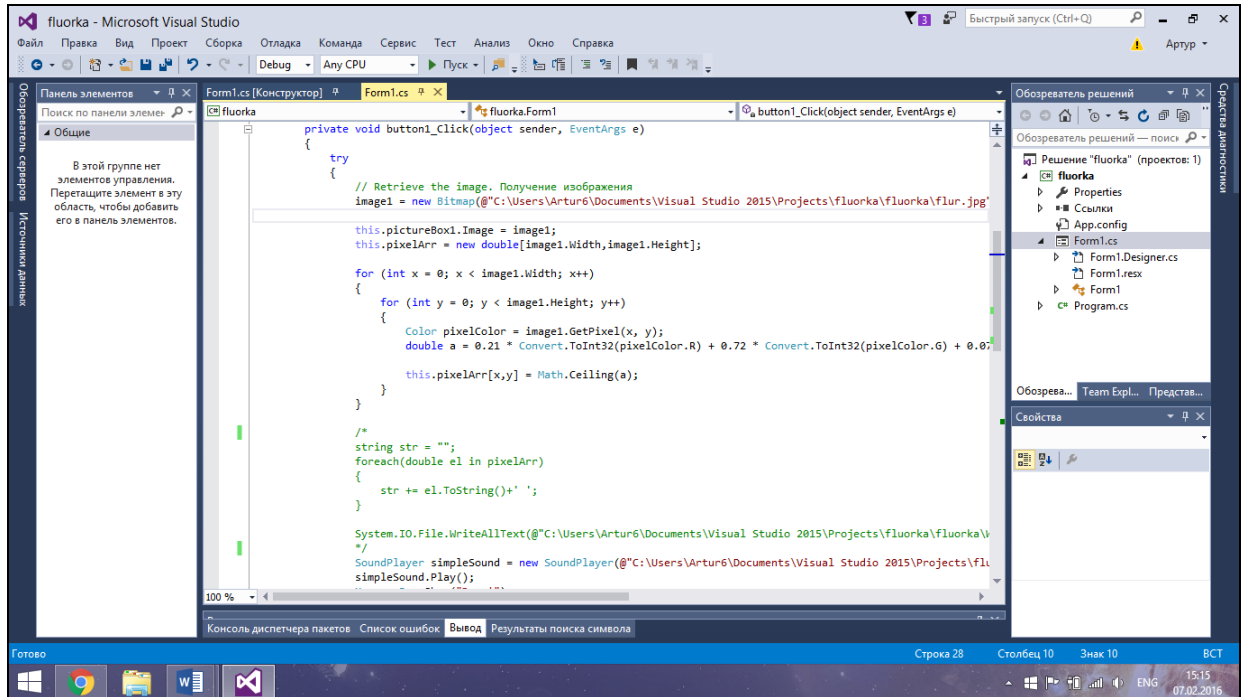


Рисунок 3.2 – Класс `Bitmap` для обработки изображения

В своем программном обеспечении я использовал метод `GetPixel`. Суть этого метода заключается в том, что этот метод получает цвет указанного пикселя в этом изображении и его координаты x и y . Работу данного метода я привел на рисунках ниже (рисунок 3.3).

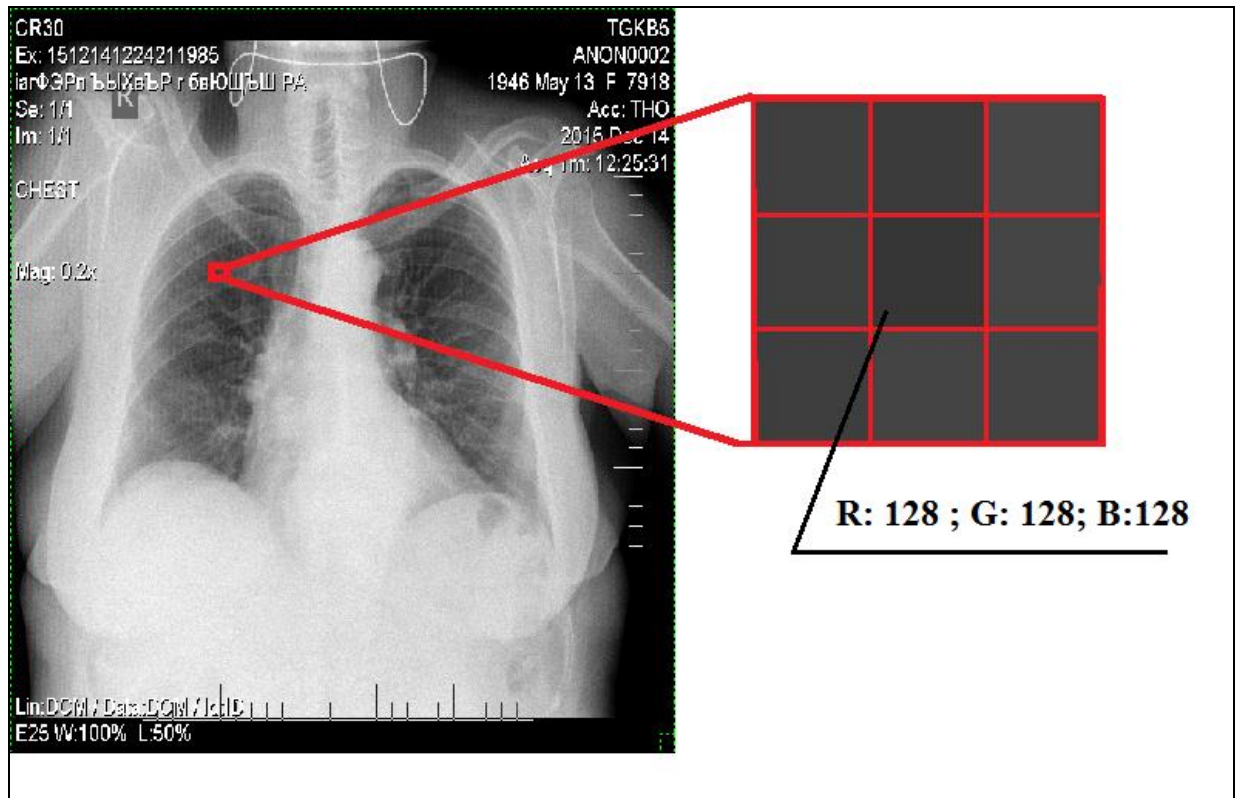


Рисунок 3.3 – Получение информации о пикселе при помощи класса GetPixel

Следующим шагом идет преобразование цвета изображения к оттенкам серого цвета. Это требуется по причине того, что некоторые изображения флюорографии имеют различные цветовые оттенки. Делается это при помощи общей формулы преобразования изображения. Тем самым мы получаем изображение, приведенное к шкале оттенкам серого при этом пользуясь следующим программным кодом (рисунок 3.4, 3.5).

```
double a = 0.21 * Convert.ToInt32(pixelColor.R) + 0.72 *
Convert.ToInt32(pixelColor.G) + 0.07 * Convert.ToInt32(pixelColor.B);
```

То есть,

$$\text{ЗНАЧЕНИЯ ЦВЕТА} = 0,21 * R + 0.72 * G + 0.07 * B$$

Рисунок 3.4 – Преобразование изображения и получение значения
цвета

```

for(int i = 0; i < 250; i++)
{
    for(int j = 0; j < 250; j++)
    {
        Color pixel = c11.GetPixel(i, j);
        cluster1[i, j] = Math.Ceiling(ToGray(pixel));
    }
}

for (int i = 0; i < 250; i++)
{
    for (int j = 0; j < 250; j++)
    {
        Color pixel = c12.GetPixel(i, j);
        cluster2[i, j] = Math.Ceiling(ToGray(pixel));
    }
}

for (int i = 0; i < 250; i++)
{
    for (int j = 0; j < 250; j++)
    {
        Color pixel = c13.GetPixel(i, j);
        cluster3[i, j] = Math.Ceiling(ToGray(pixel));
    }
}

GC.Collect();
}

private double ToGray(Color pixel)
{
    return 0.21 * Convert.ToInt32(pixel.R) + 0.72 * Convert.ToInt32(pixel.G) + 0.07 * Convert.ToInt32(pixel.B);
}

```

Рисунок 3.5 – Код преобразования изображения и получение значения
цвета

Пройдя все эти шаги, мы получаем каждое изображение в виде массива упорядоченных чисел, каждое из которых является значением цвета каждого пикселя. В моем программе использовались изображения 250x250 пикселей, а значит размер полученного массива - 62500 значений (рисунок 3.6).

```

Bitmap c11 = ResizeImage(new Bitmap(@items[0].Path, true), 250, 250);
Bitmap c12 = ResizeImage(new Bitmap(@items[1].Path, true), 250, 250);
Bitmap c13 = ResizeImage(new Bitmap(@items[2].Path, true), 250, 250);
private Bitmap ResizeImage(Image image, int width, int height)
{
    var destRect = new Rectangle(0, 0, width, height);
    var destImage = new Bitmap(width, height);

```

```
destImage.SetResolution(image.HorizontalResolution,
image.VerticalResolution);
```

```
using (var graphics = Graphics.FromImage(destImage))
{
    graphics.CompositingMode = CompositingMode.SourceCopy;
    graphics.CompositingQuality = CompositingQuality.HighQuality;
    graphics.InterpolationMode =
InterpolationMode.HighQualityBicubic;
    graphics.SmoothingMode = SmoothingMode.HighQuality;
    graphics.PixelOffsetMode = PixelOffsetMode.HighQuality;

    using (var wrapMode = new ImageAttributes())
    {
        wrapMode.SetWrapMode(WrapMode.TileFlipXY);
        graphics.DrawImage(image, destRect, 0, 0, image.Width,
image.Height, GraphicsUnit.Pixel, wrapMode);
    }
    return destImage; } }
```

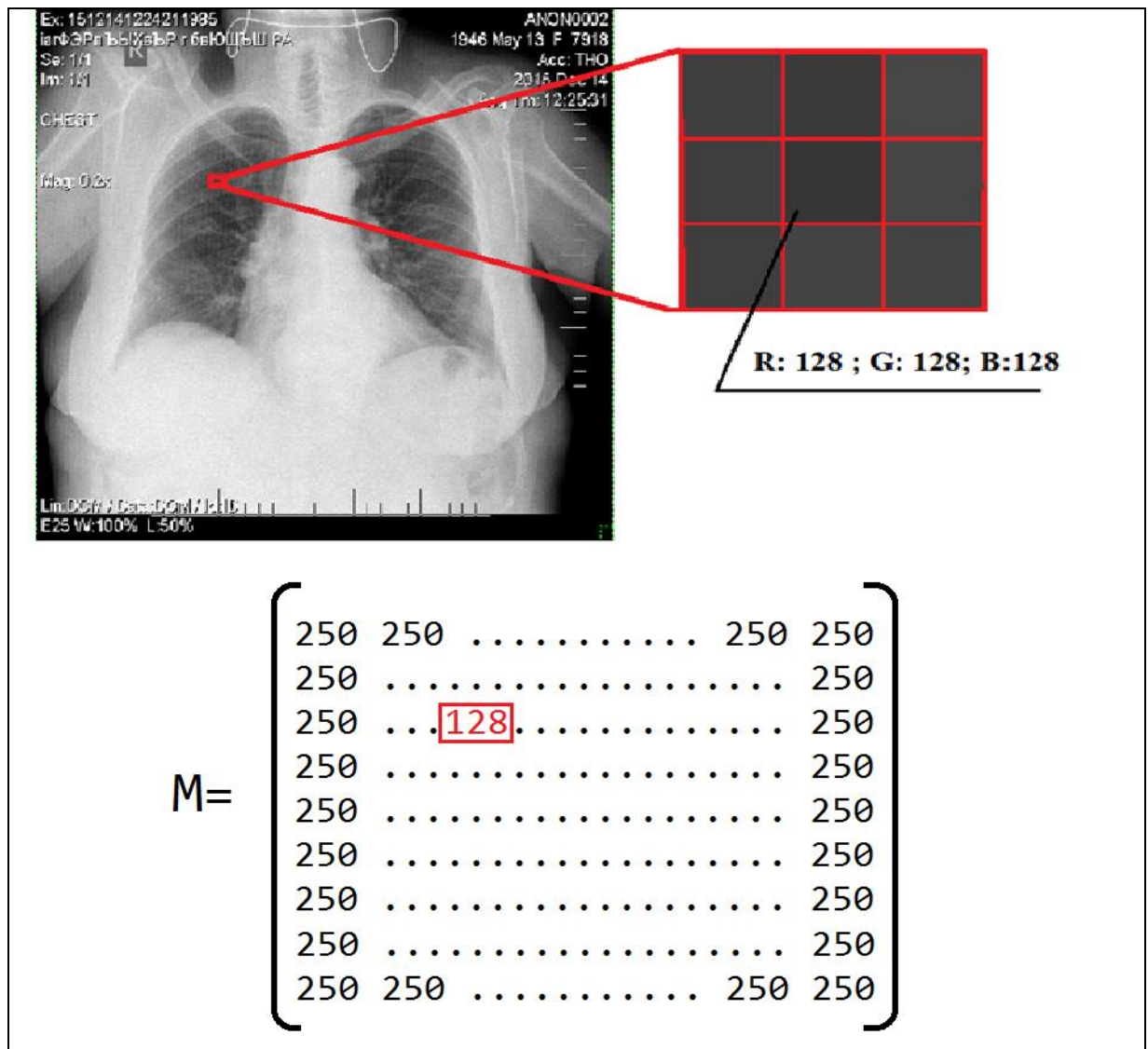


Рисунок 3.6 – Полученный массив чисел

Далее, после нормализации, программа выполняет следующий шаг – кластеризацию изображений.

3.2 Кластеризация

Кластеризация – это процесс разбиения объектов (в моем случае – массивов с числами) на кластеры, то есть группы. В каждом кластере находятся похожие объекты, отличные от объектов в другом кластере (рисунок 3.7).

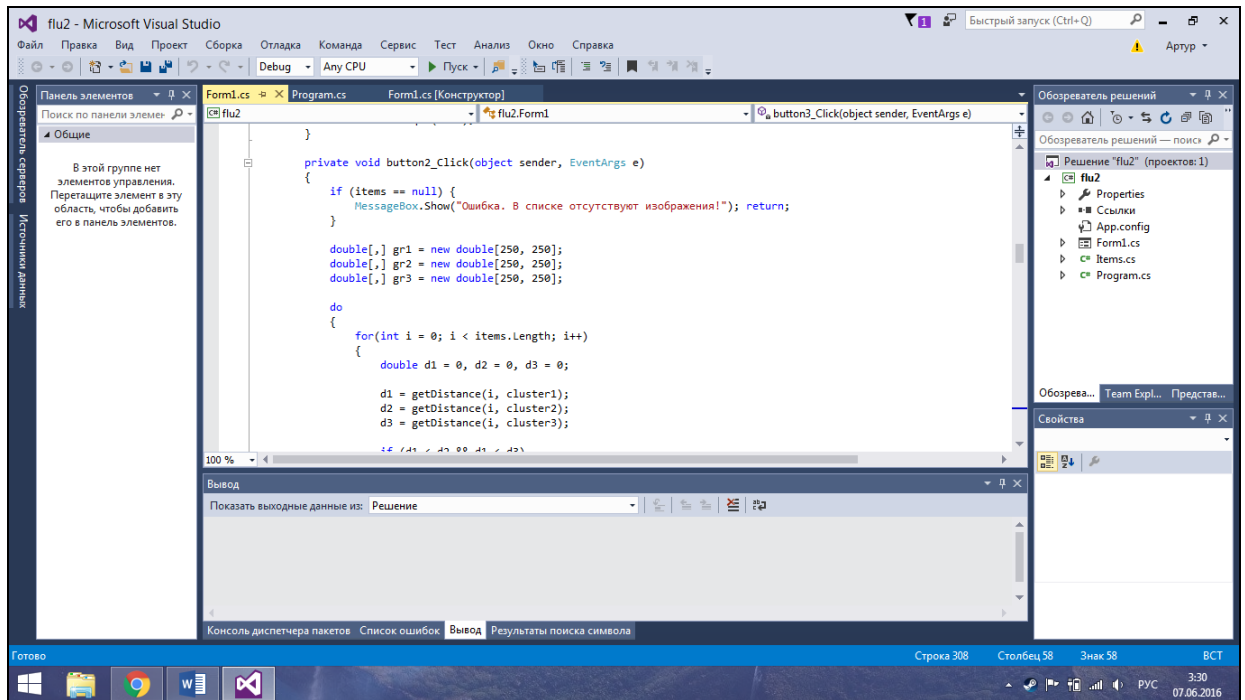


Рисунок 3.7 – Кластеризация

В своей программе я использовал алгоритм кластеризации k-means. Он состоит из четырех шагов.

1. Задается число кластеров k , которое должно быть сформировано из объектов исходной выборки.
2. Случайным образом выбирается k записей исходной выборки, которые будут служить начальными центрами кластеров.
3. Для каждой записи исходной выборки определяется ближайший к ней центр кластера, т.е. вычисляется расстояние между записями и центрами кластеров. Правило, по которому производится вычисление расстояния в многомерном пространстве признаков, называется метрикой. В моей программе я использовал метрику Евклида.
4. Производится вычисление центроидов – центров тяжести кластеров. Это делается путем простого определения средних значений каждого признака для всех записей в кластере.

Шаги 3 и 4 повторяются до тех пор, пока выполнение алгоритма не будет прервано. Остановка алгоритма производится:

- Когда границы кластеров и расположения центроидов не перестанут изменяться от итерации к итерации, т.е. на каждой итерации в каждом кластере будет оставаться один и тот же набор записей. На практике алгоритм k-meansобычно находит набор стабильных кластеров за несколько десятков итераций.

- Когда достигнут критерий сходимости.

На рисунке ниже я отобразил пример кластеризации точек (рисунок 3.8).

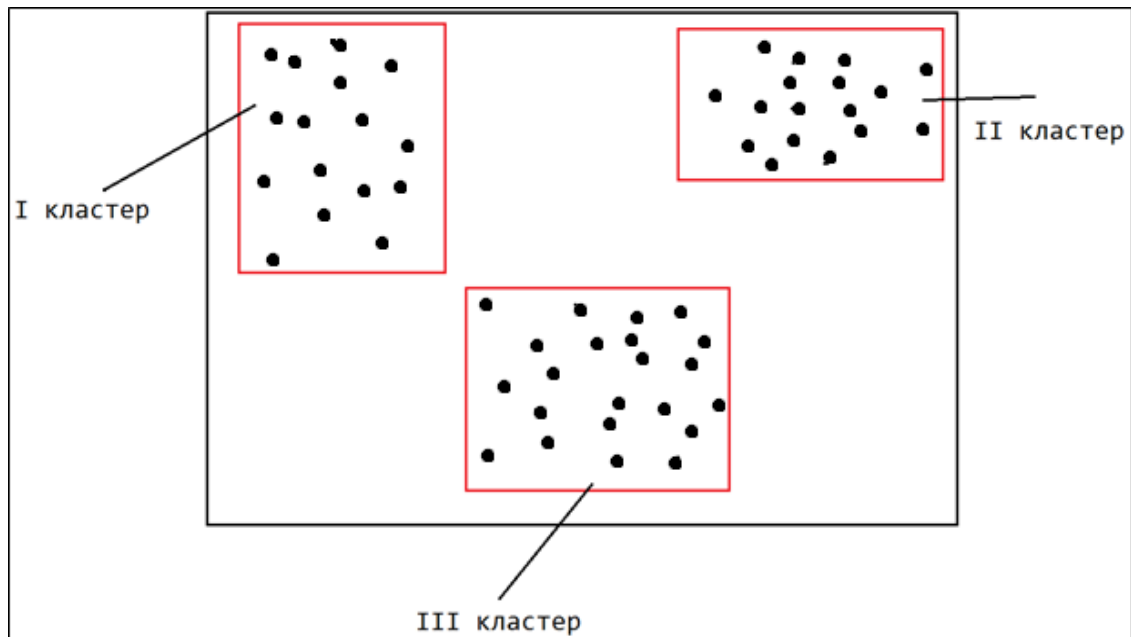


Рисунок 3.8 – Пример кластеризации точек

Выше был приведен пример кластеризации точек. Отличие кластеризации, используемой здесь и у меня в том, что у каждой точки используется 2 значения – x и y , когда в моей же программе значение каждой точки (изображения) используется 62500 значений, так как в каждом массиве содержится 62500 чисел.

Следующим шагом в моем программном обеспечении является изучение свойств каждого кластера.

3.3 Изучение свойств кластера

Под изучением свойств кластера понимается изучение каждого объекта, который попал в кластер. То есть, мы открываем каждый кластер, и

после изучения добавляем ему свойство (описание). Таким образом, мы будем понимать, какие объекты попали в данный кластер (рисунок 3.9).

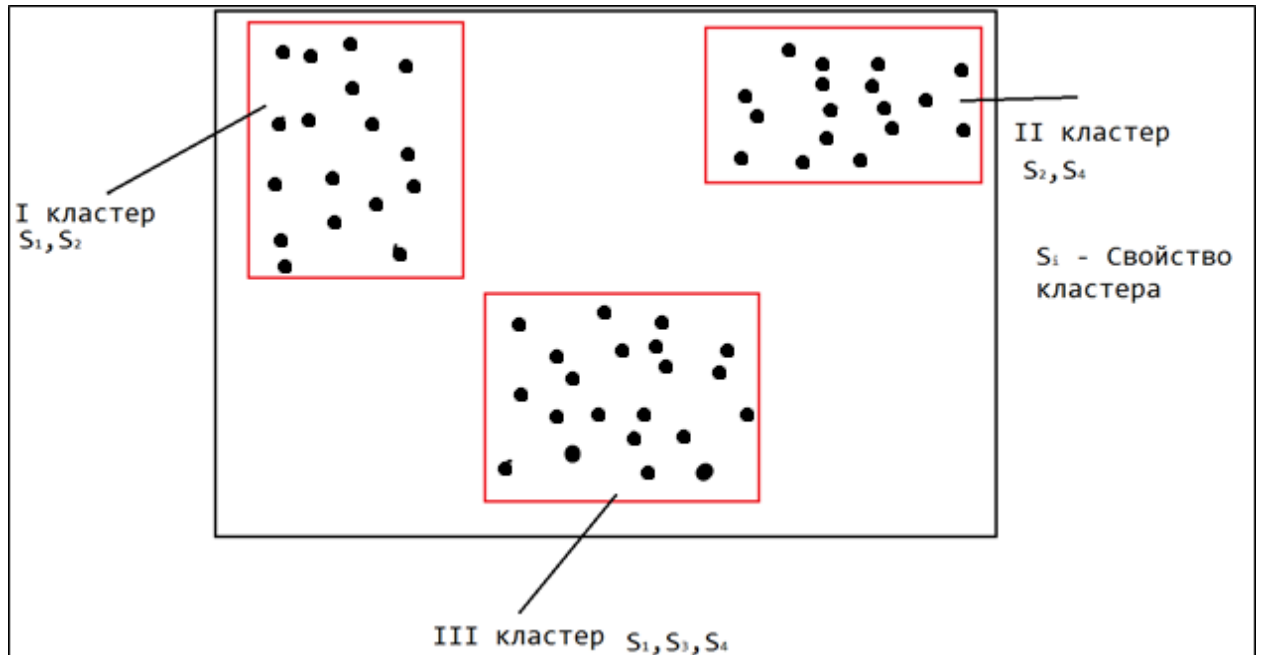


Рисунок 3.9 – Пример изучения свойств кластера

В примере выше возьмем за основу флюорографические снимки, то есть каждая точка — это изображение. На этом примере видно, что в кластеры попали изображения, и изучив их мы дали каждому кластеру описание. Например, у первого кластера свойства S_1, S_2 , это значит, что в первый кластер попали здоровые люди (S_1) с вероятностью 80% и немного больные (S_2) с вероятностью в 20%. Таким образом, мы поймем с каким заболеванием человек, увидев к какому кластеру относится его флюорографический снимок. Следующим шагом моего программного обеспечения является подача неизвестного ранее изображения.

3.4 Подача неизвестного ранее изображения

После того как кластеризация закончилась, мы можем двумя шагами определить отношение нового изображения к кластеру (рисунок 3.10).

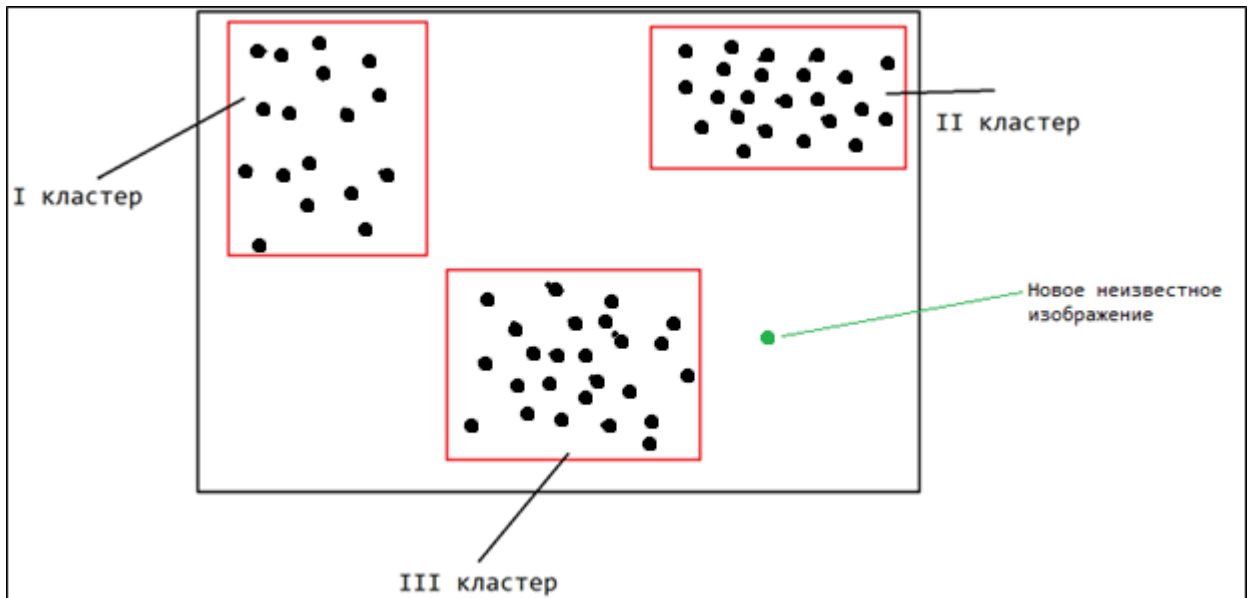


Рисунок 3.10 – Подача неизвестного ранее изображения

После того как мы добавили изображение, мы рассчитываем расстояние от этого изображения к каждому кластеру (рисунок 3.11).

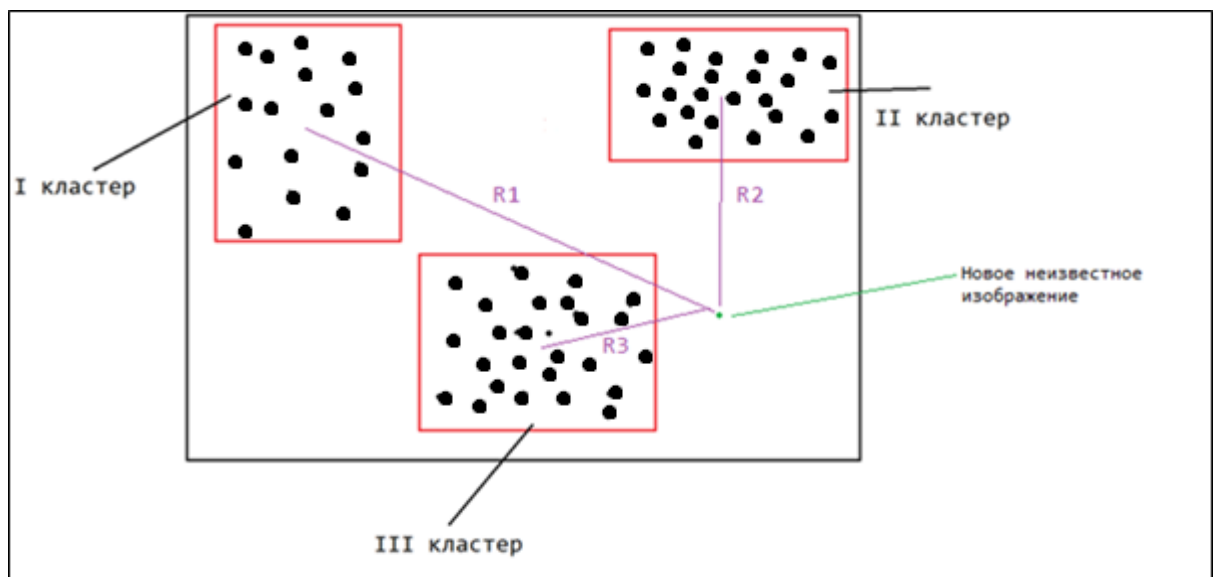


Рисунок 3.11 – Наглядность расчёта расстояния

После расчета расстояния, программа присваивает это изображение к кластеру, расстояние до которого будет наименьшим (рисунок 3.12).

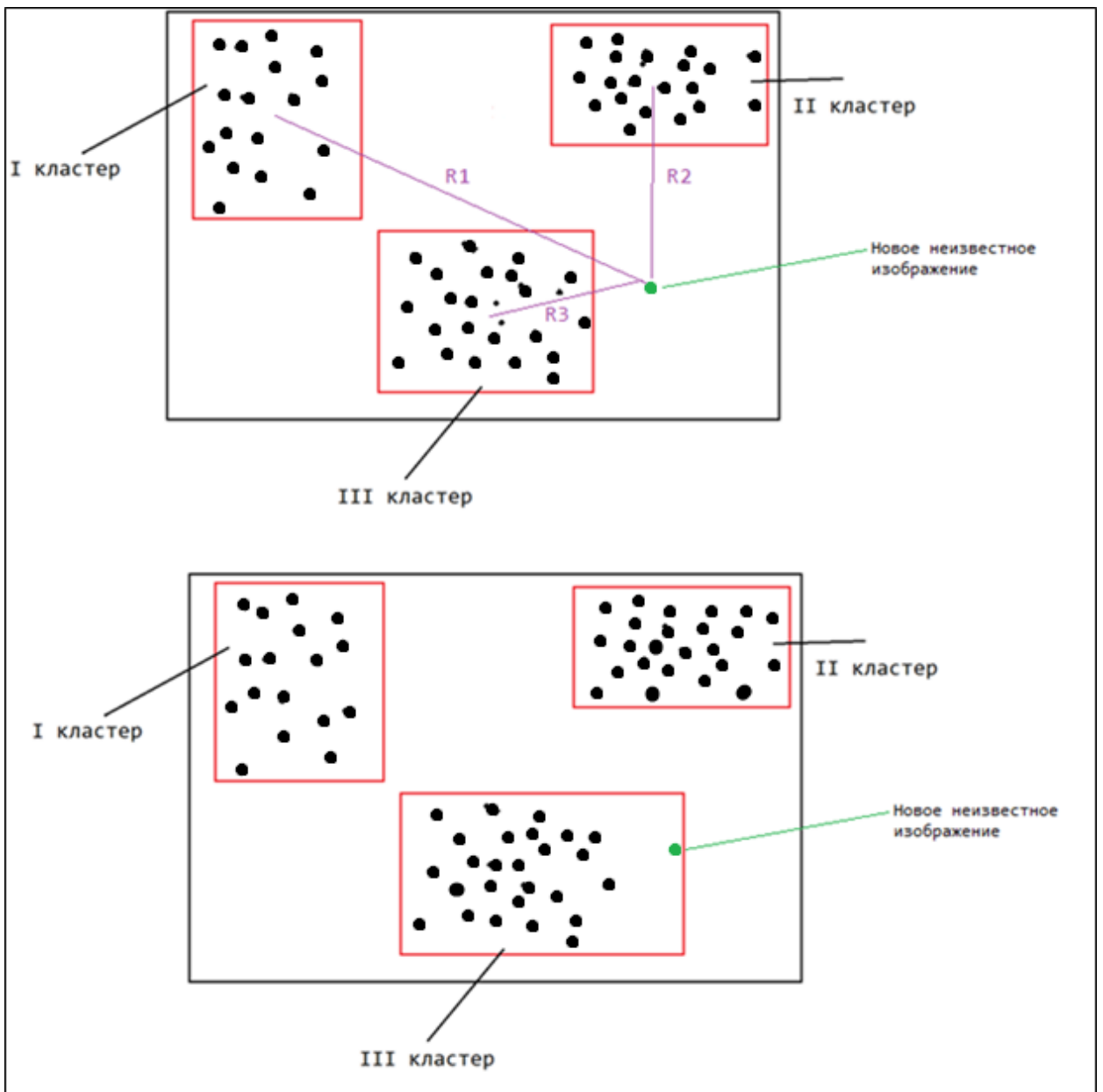


Рисунок 3.12 – Соотношение изображения к кластеру

То есть как видно на Рисунке 15, что расстояние от нового изображения до III-кластера меньше, а значит он принадлежит этому кластеру.

3.5 Интерфейс программы

Для более упрощенного использования данной программы, я реализовал интерфейс, который будет понятен любому пользователю моего программного обеспечения, включая медицинский персонал, для которого было реализована данная программа (рисунок 3.13).

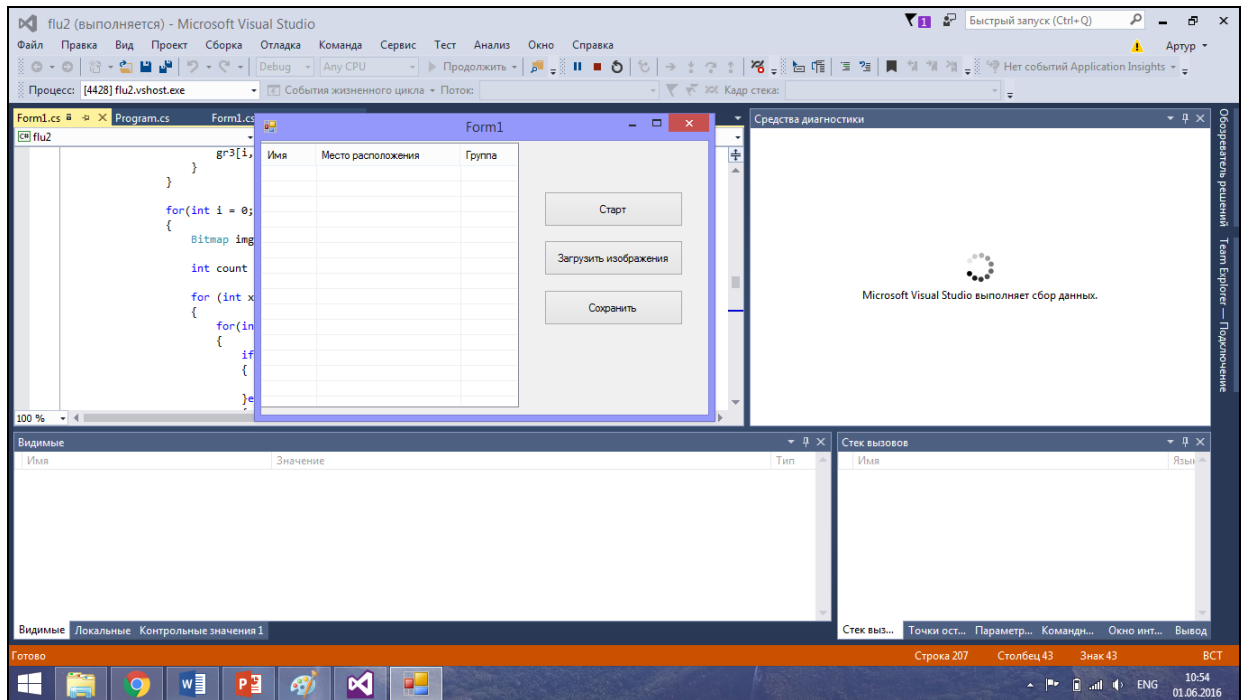


Рисунок 3.13 – интерфейс программного обеспечения

При нажатии кнопки «Загрузить изображения» программа открывает окно, в котором нужно выбрать фотографии, которые будут кластеризованы (Рисунок 3.14).

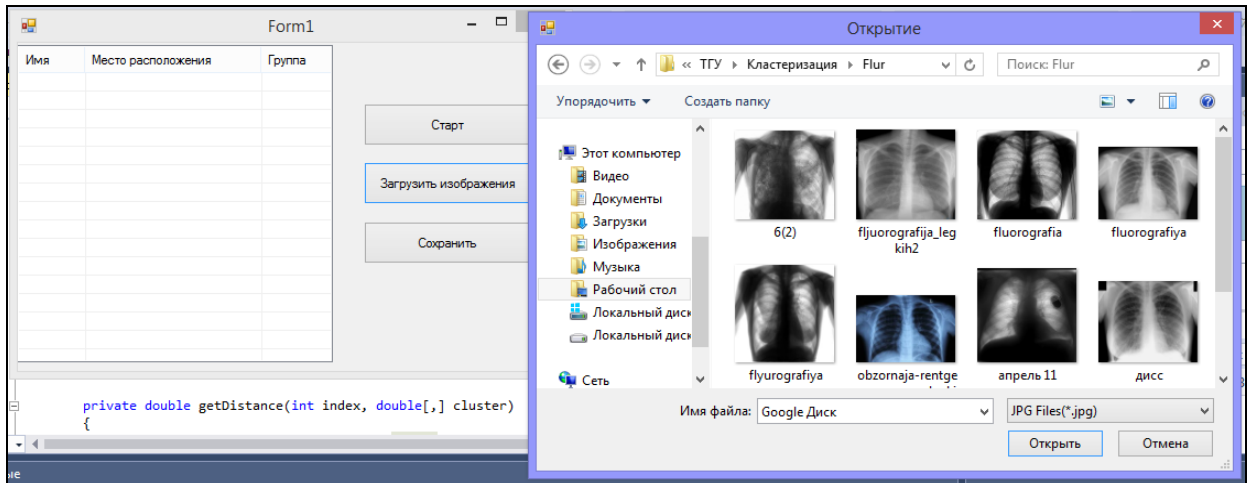


Рисунок 3.14 – Окно выбора фотографий

Если вдруг пользователь не выбрал фотографии, либо выбрал менее 3 фотографий, программа проинформирует об ошибке и даст совет по правильной работе с ней (рисунок 3.15).

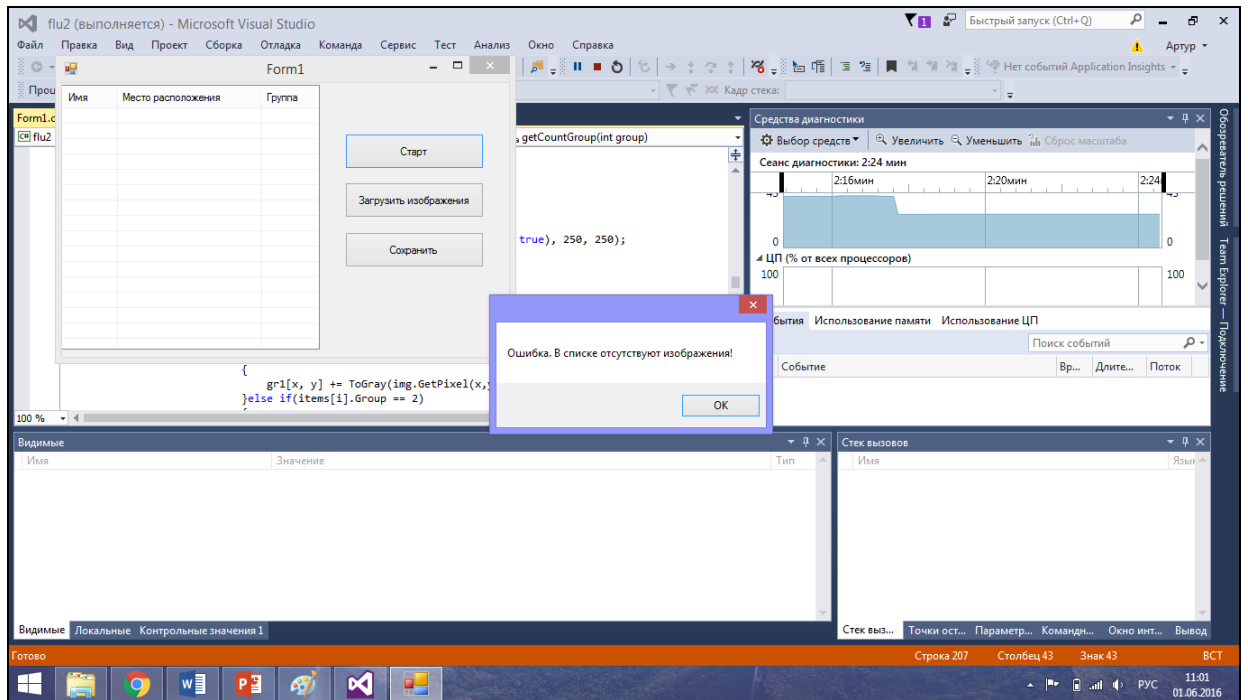


Рисунок 3.15 – Окно сообщения неудачного выполнения задачи

Сделано это для более удобного пользования программой.

После выбора фотографий нажимая кнопку «Старт» программа начинает кластеризацию, и выводит информацию о фотографии: имя файла, расположение, и к какому кластеру она принадлежит (рисунок 3.16).

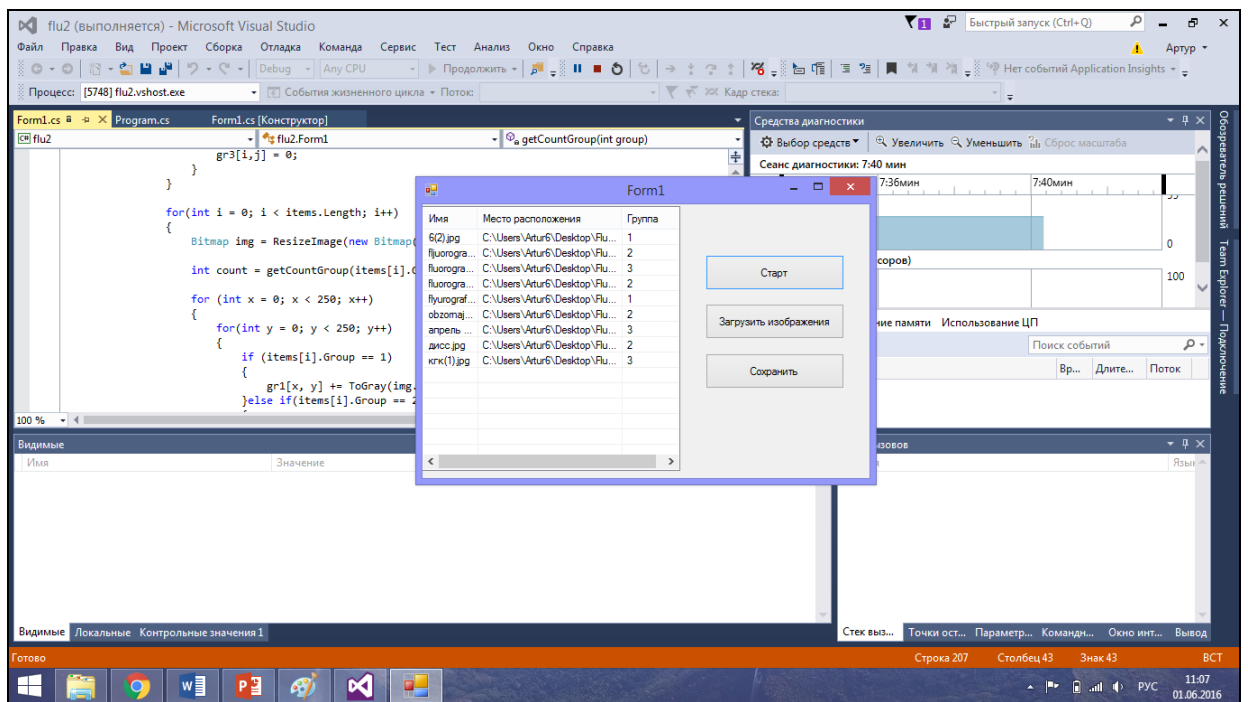


Рисунок 3.16 – Окно информации кластеризации

Также я сделал специальную кнопку сохранения результатов. При нажатии на кнопку «Сохранить» программа выведет окно выбора пути (рисунок 3.17).

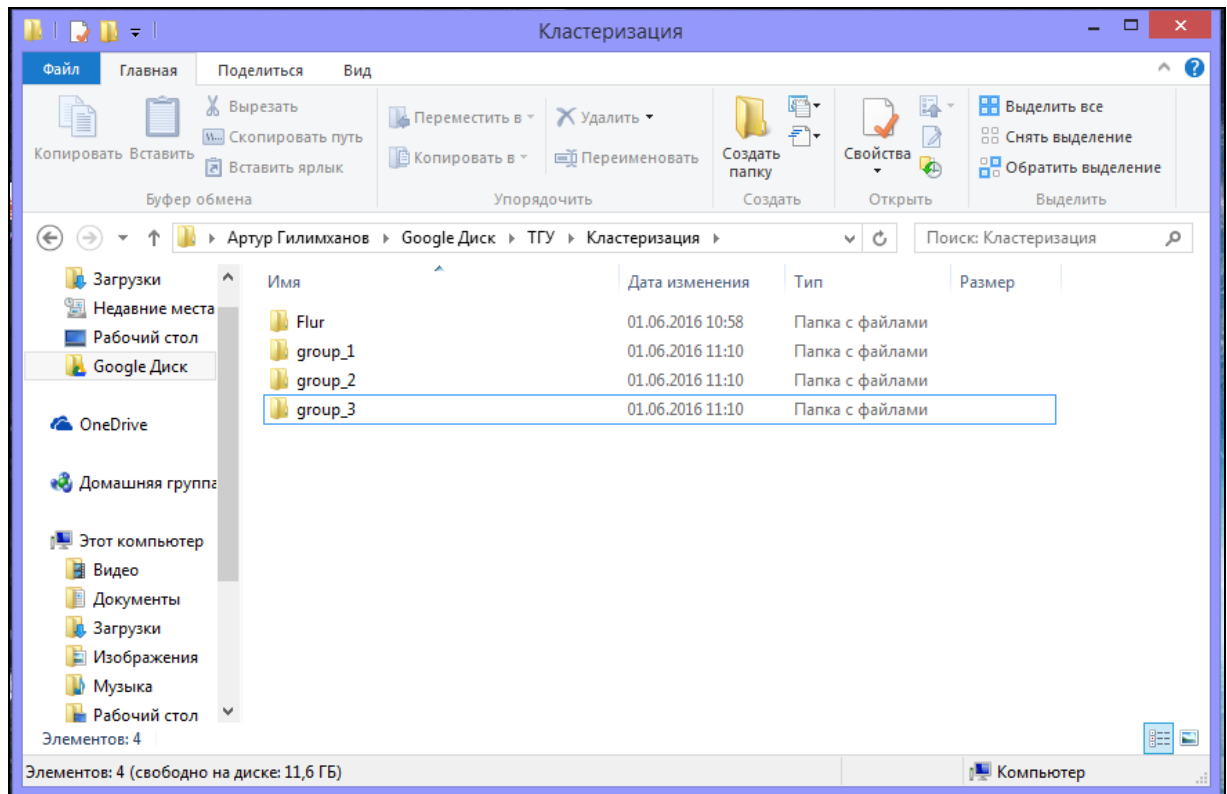


Рисунок 3.17 – Папки с сохраненными итогами

После чего сохранит 3 папки, в которых будут откластеризованные фотографии (рисунок 3.18).

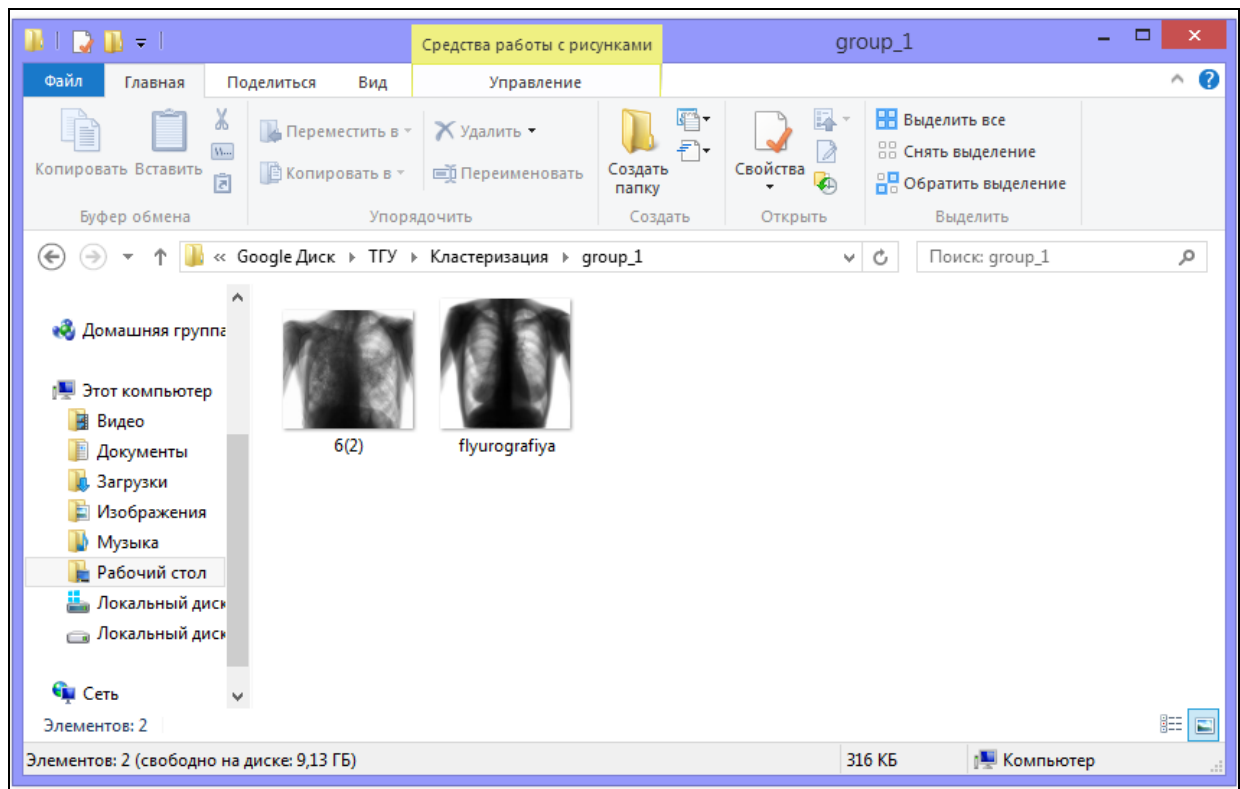


Рисунок 3.18 – Папки с откластеризованными изображениями

3.6 Vitmar

Программа будет извлекать фотографии из базы данных, и при помощи класса Vitmar обрабатывать изображение. Для обработки наших снимков мы используем класс Vitmar. Vitmar он инкапсулирует точечный рисунок, состоящий из данных пикселей графического изображения и атрибутов рисунка [2]. Объект Vitmar используется для работы с изображениями, определяемыми данными пикселей (Рисунок 3.19).

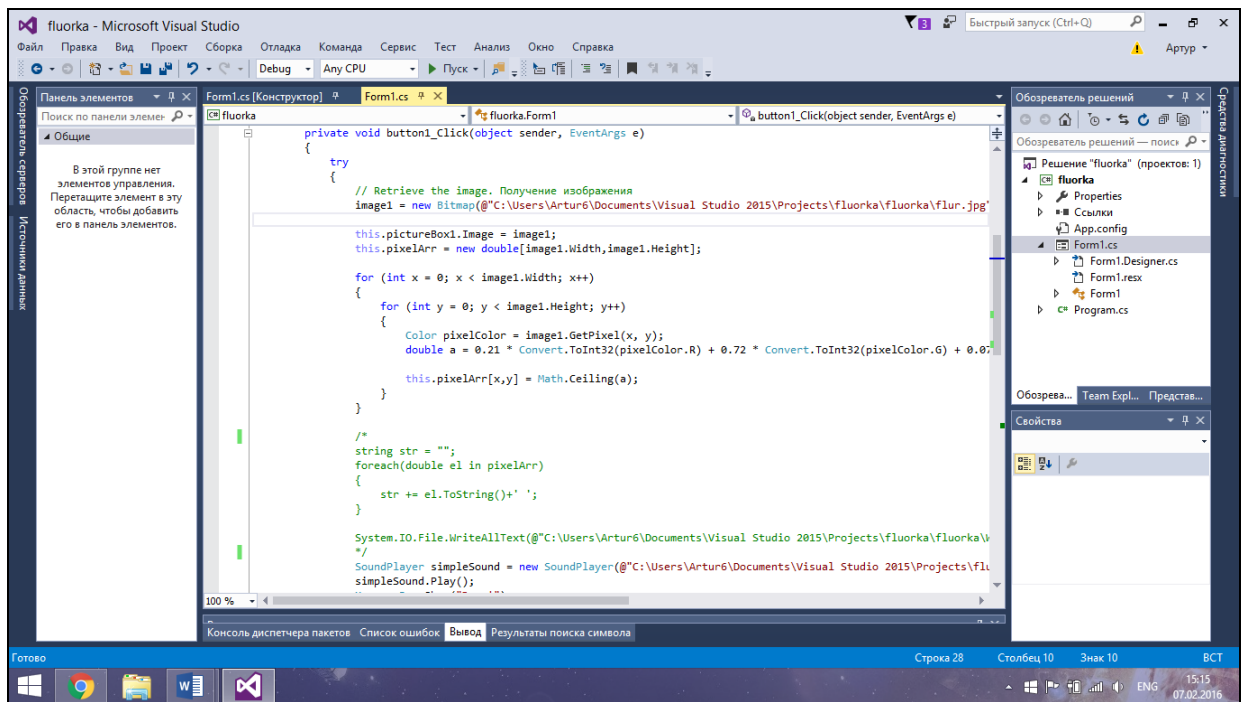


Рисунок 3.19 – Класс Vitmar для обработки изображения

Также мы обрабатываем фотографию методом `ResizeImage`, чтобы выбранные изображения сделать одного размера.

Мы обрабатываем наше изображение, при помощи метода `getpixel` получаем цвет каждого пикселя изображения [9]. В конечном итоге получаем наше изображение в виде матрицы чисел, каждое из которых является цветовым индексом каждого пикселя нашего изображения (рисунок 3.20) [10].

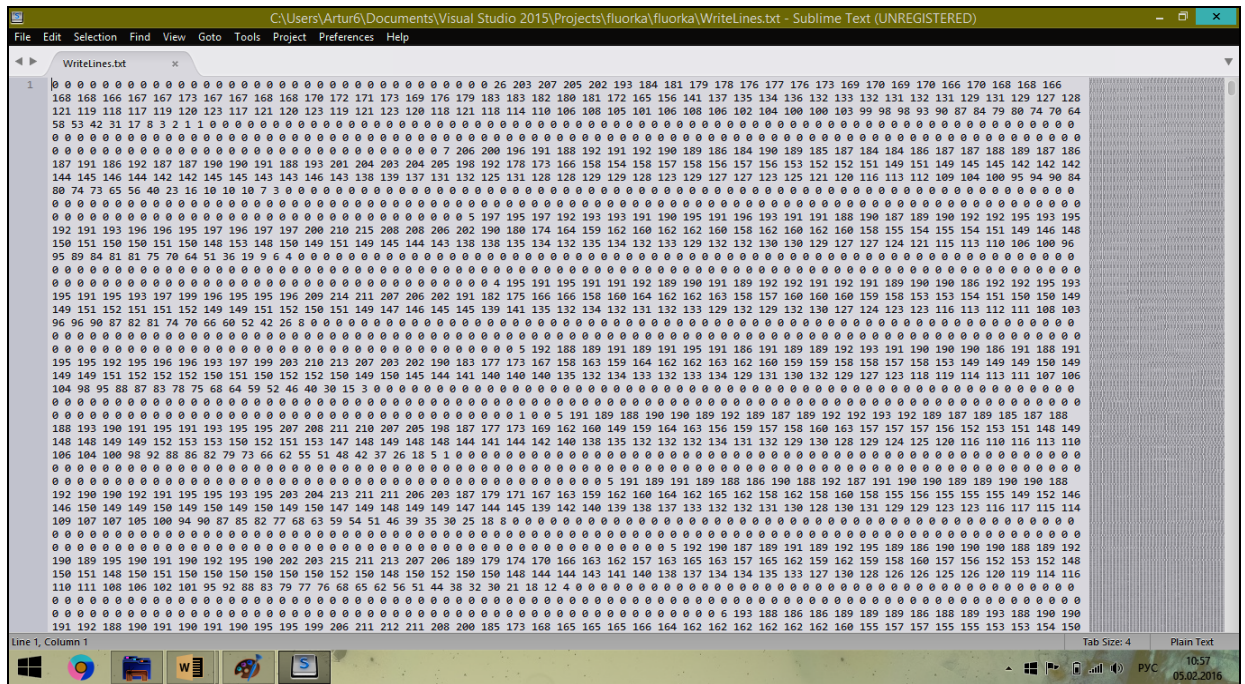


Рисунок 3.20 – Обработанное флюорографическое изображение

Сохраняется этот массив чисел в файл «.txt» формата для более упрощенной работы с этим массивом в дальнейшем.

3.7 Кластеризация флюорографических снимков

При помощи кластеризации методом K-means и метрики Евклида мы кластеризуем наши обработанные флюорографические снимки (рисунок 3.21).

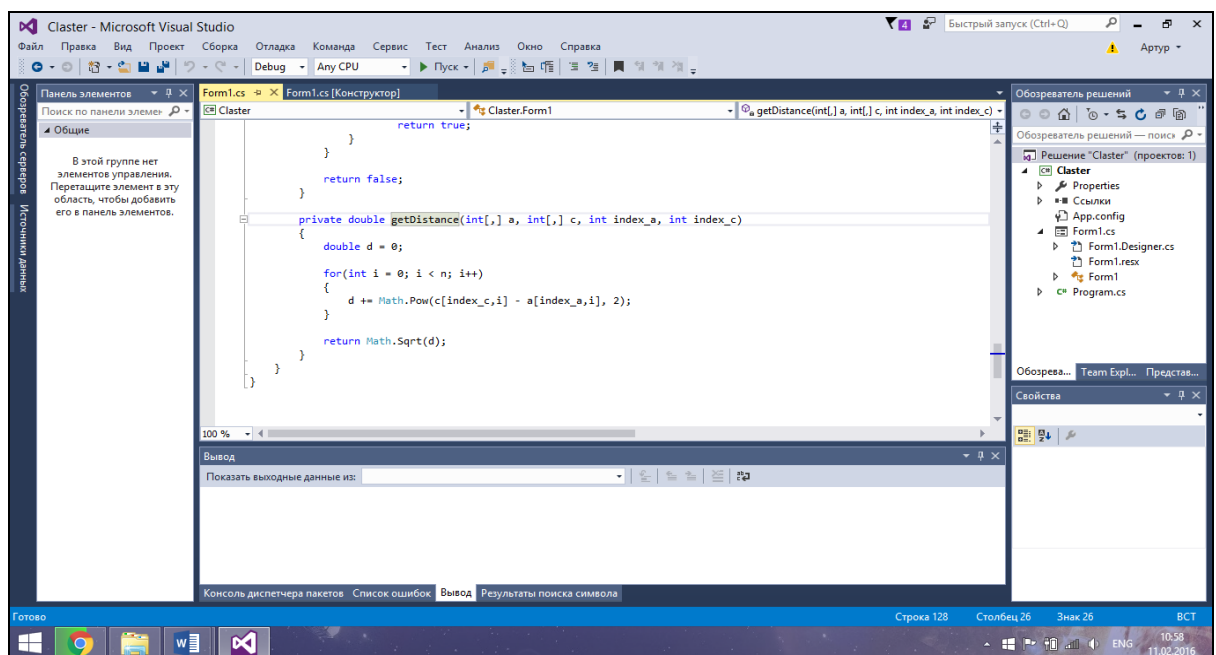


Рисунок 3.21 – Кластеризация

Первый наш шаг – итерация, суть которой заключается в том, что для каждой записи исходной выборки определяется ближайший к ней центр кластера, т.е. вычисляется расстояние между записями и центрами кластеров. (рисунок 3.22).

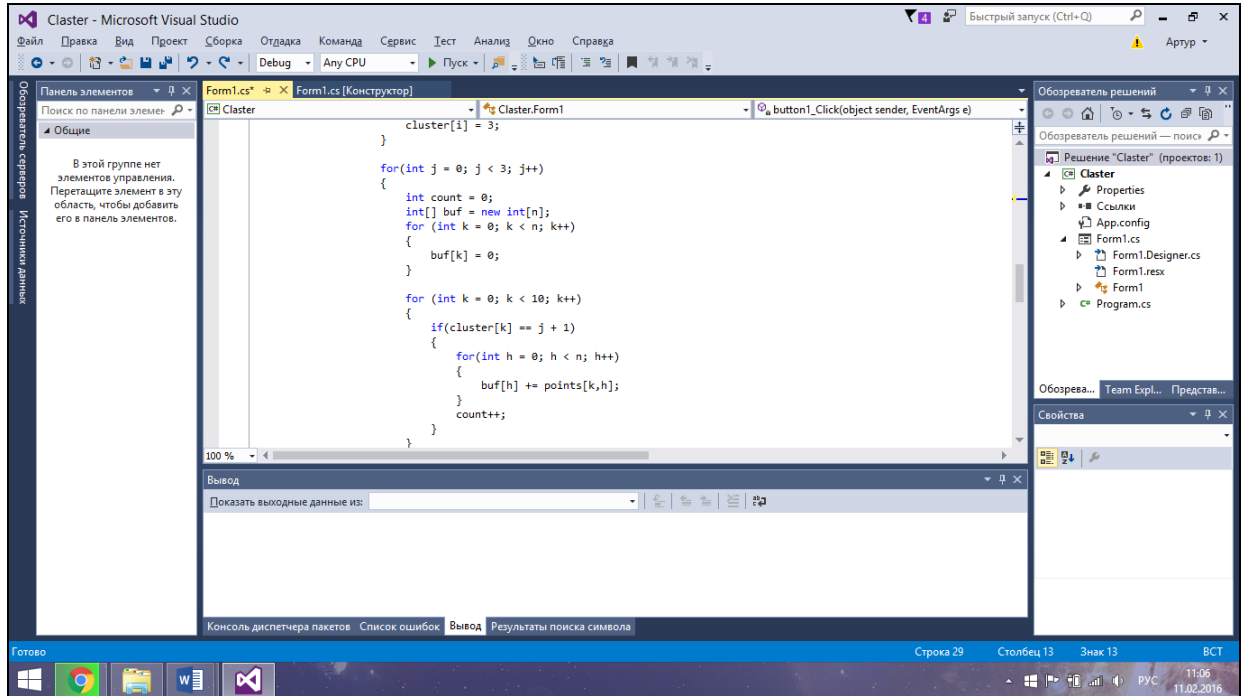


Рисунок 3.22 – Кластеризация изображений

Далее производится вычисление центроидов – центров тяжести кластеров. Это делается путем простого определения средних значений каждого признака для всех записей в кластере. Затем старый центр кластера смещается в его центроид. Таким образом, центроиды становятся новыми центрами кластеров для следующей итерации алгоритма. (рисунок 3.23).

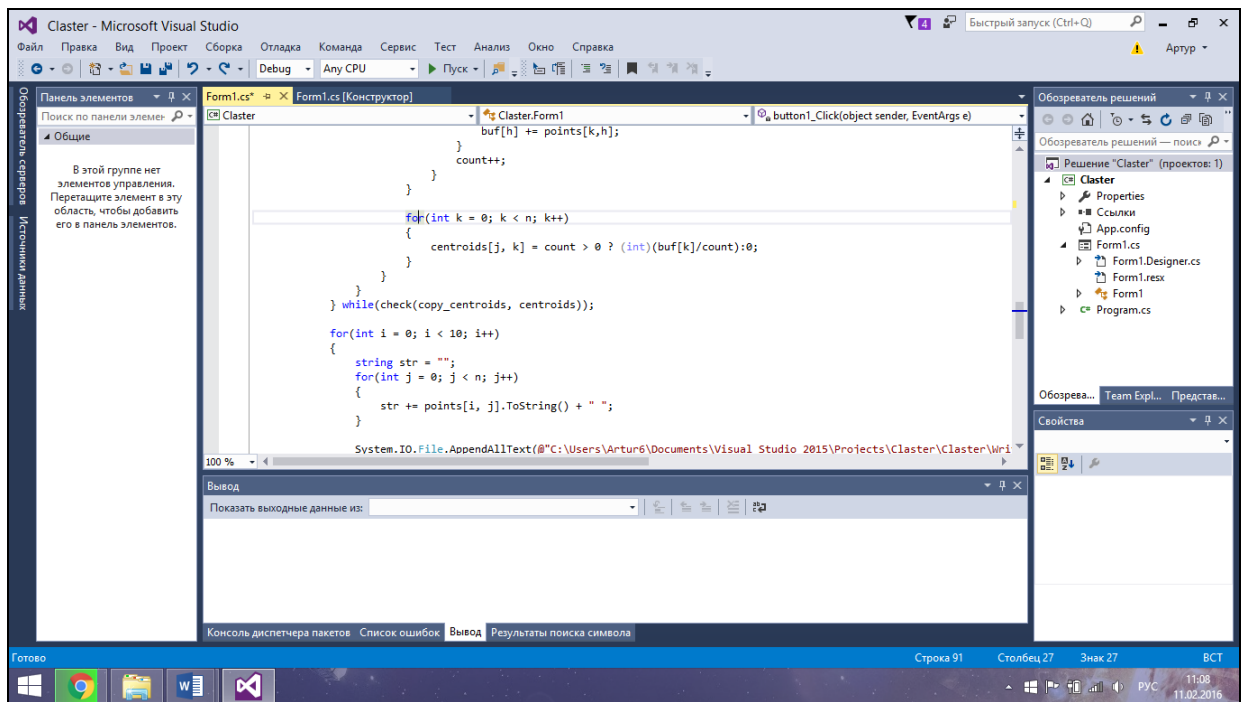


Рисунок 3.23 – Сдвиг (центрирование) кластеров

По завершению центрирования кластеров мы проводим итерацию. Если результат текущей итерации, то есть положение кластеров и критерии сходимости, отличается от результата предыдущей итерации – мы снова проводим центрирование кластеров. Если результаты сходятся – значит кластеризация завершена до конца.

Для более понятной работы моего программного обеспечения, я сделал окно сообщений, в котором говорится о завершении работы программы (рисунок 3.24).

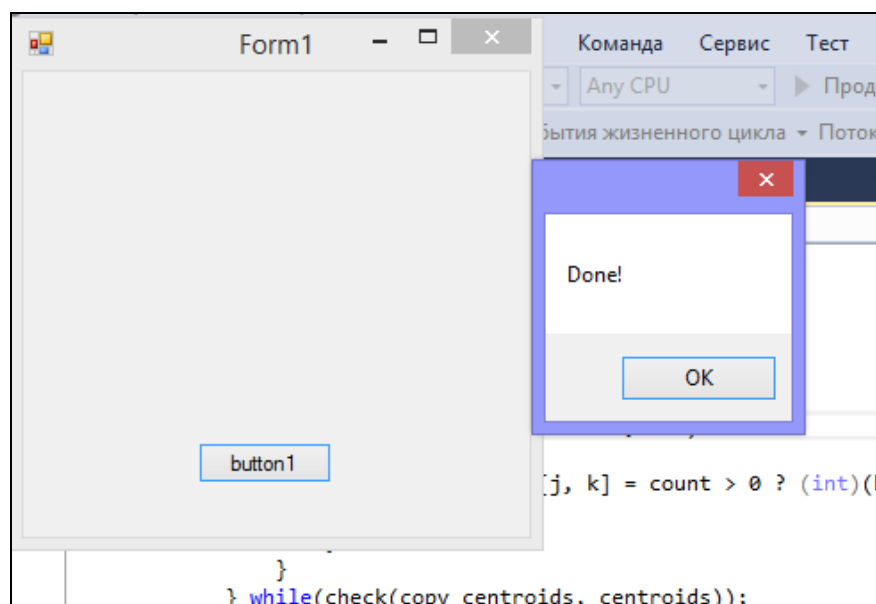


Рисунок 3.24 – Окно сообщений о завершении кластеризации

Так же внутри программы я сделал сохранение массива числа фотографий в отдельный .txt файл (рисунок 3.25).

The screenshot shows a Sublime Text editor window with the following content:

```

C:\Users\Artur6\Documents\Visual Studio 2015\Projects\Cluster\Cluster\WriteLines.txt - Sublime Text (UNREGISTERED)
File Edit Selection Find View Goto Tools Project Preferences Help
WriteLines.txt - fluorka/fluorka x WriteLines.txt - Cluster/Cluster x
84 226 203 215 96 179 190 234 214 176 49 89 149 110 180 241 0 206 81 108 198 241 150 156 104 184 108 211 223 14 176 10 9 84 55 46 53 63 14 160 37 18 23 107 177
135 216 27 10 37 80 30 174 224 97 76 47 111 166 71 234 10 200 0 39 79 64 54 133 187 191 192 175 71 179 217 126 49 181 49 146 183 212 231 95 235 90 114 212 224 6
206 103 88 57 7 78 23 68 98 70 162 148 78 181 143 109 102 44 134 204 252 184 116 179 51 52 224 159 58 244 205 96 164 180 239 89 86 13 172 139 103 235 83 234 239 34
134 130 207 126 242 70 77 20 8 22 241 163 6 210 109 119 10 108 120 65 239 152 116 54 22 89 127 250 101 17 101 137 195 16 172 94 206 187 2 135 18 143 171 217 102
178 7 217 30 238 225 225 113 174 40 237 13 153 183 153 197 82 174 246 175 183 224 244 37 14 167 77 106 240 46 96 235 153 206 99 81 165 219 117 47 126 23 21 222 190
80 53 83 184 192 191 224 180 41 253 209 18 180 15 71 147 123 128 128 208 1 114 201 4 71 32 118 57 198 49 80 202 22 181 189 114 249 2 47 109 127 54 112 207 144 63
240 203 45 154 3 149 147 13 189 221 106 79 32 159 73 166 236 247 173 6 251 78 81 212 153 121 80 18 81 201 2 249 114 8 47 169 114 4 45 185 54 8 167 222 7 169 224
142 36 215 72 119 34 137 66 161 121 88 0 137 68 129 187 242 218 112 219 24 112 158 154 192 202 242 207 242 165 113 204 238 151 193 236 120 129 137 214 231 196 140
47 178 43 163 116 180 76 180 4 150 205 200 30 132 60 135 172 46 185 79 250 7 138 17 240 130 147 66 112 80 152 243 82 226 111 230 148 38 126 27 166 240 109 54 33
206 162 103 59 248 220 168 45 117 145 39 40 26 178 240 32 9 67 178 252 217 117 58 21 85 241 133 175 158 167 10 152 83 238 33 222 43 7 119 115 239 197 219 81 71 190
121 115 140 249 157 173 186 57 71 89 184 62 229 6 87 247 142 205 134 141 212 43 144 17 243 1 203 63 13 19 152 232 205 149 120 18 34 163 9 92 221 26 167 199 118 216
32 112 27 246 54 14 201 184 233 78 225 122 6 155 224 123 43 51 191 127 132 79 141 69 212 233 195 42 175 186 130 200 154 26 224 90 35 21 220 138 30 20 171 41 47 167
156 108 122 97 237 115 8 246 64 208 226 213 33 76 73 158 9 46 203 25 223 235 186 134 88 22 86 52 96 112 162 100 21 45 77 87 175 78 203 14 192 162 197 15 119 76 243
143 65 126 11 124 93 21 199 176 242 8 215 29 210 150 227 45 126 191 243 254 241 238 185 97 188 88 60 37 170 15 12 33 197 242 224 100 38 6 254 100 155 165 187
69 243 240 236 12 225 225 247 139 254 144 78 143 80 26 160 188 138 138 5 227 251 181 87 223 180 126 7 119 191 142 98 75 50 116 109 203 106 48 67 200 22 127 33 52
163 81 20 11 101 66 216 16 159 215 73 62 153 13 87 98 218 128 202 112 46 2 92 219 172 211 81 90 71 60 204 124 147 34 59 98 105 250 17 125 180 82 171 89 43 46 49 93
216 223 236 149 179 176 6 160 244 56 93 144 239 126 200 98 11 203 170 118 200 243 247 222 110 77 187 218 86 2 175 126 161 243 129 182 79 55 159 225 28 153 109 49
157 121 54 136 72 78 94 100 186 139 227 231 13 38 102 244 42 74 241 135 221 327 250 251 97 19 211 4 199 90 55 134 198 65 238 191 132 82 13 179 81 250 230 103
157 126 65 16 97 236 240 79 122 180 144 145 57 38 53 121 89 185 95 84 93 92 203 55 166 111 215 60 61 54 225 7 147 94 226 209 194 162 218 105 231 11 29 129 93
45 75 43 215 57 246 65 134 19 64 93 116 216 186 125 24 18 61 114 220 137 253 218 67 98 182 182 222 245 108 81 2 74 216 120 36 172 100 3 62 160 127 127 30 132 92
232 231 93 80 213 205 170 163 210 47 111 230 116 130 64 97 144 166 237 91 41 0 66 88 107 172 57 52 59 10 125 188 189 5 204 206 128 165 149 131 87 165 5 72 179 196
238 120 253 62 237 215 47 41 50 232 465 4 227 40 147 118 184 200 176 176 41 110 181 112 223 233 16 106 3 131 249 240 163 165 180 184 53 252 27 164 141 147 210 226
41 124 192 109 238 223 61 60 151 1 155 128 201 140 93 3 199 196 37 174 238 171 96 61 106 218 64 107 173 11 37 148 155 210 71 99 41 162 122 35 69 189 97 161 10 60
237 168 158 23 220 190 110 35 243 124 28 130 2 19 159 209 141 139 219 6 227 246 69 249 217 36 73 2 105 48 74 189 51 46 235 151 203 149 46 92 38 120 222 201 71 165
160 103 130 115 47 212 197 3 88 246 98 164 60 183 126 107 185 194 50 94 79 211 38 8 5 246 93 127 223 106 23 122 177 52 131 224 126 245 0 116 246 47 212 243 52 39
89 117 220 186 190 27 151 232 86 203 64 122 109 55 119 69 35 236 222 230 241 8 52 156 235 195 194 188 102 31 253 49 210 221 157 231 162 36 171 251 226 200 221 182
160 4 135 199 252 177 11 231 21 76 53 80 65 63 205 250 88 217 129 54 205 14 166 143 153 143 162 253 65 226 3 41 42 124 251 231 59 249 191 180 20 22 28 134 168 77
165 98 86 176 163 9 70 167 232 145 92 247 46 188 14 12 165 49 72 11 3196 67 228 191 93 25 204 33 182 240 32 229 76 232 64 167 144 62 249 225 130 146 105 139 66
202 82 165 7 111 233 62 156 38 224 31 112 239 69 238 120 133 50 159 60 17 225 131 205 100 21 242 77 40
Cluster: 1[END]
62
63
163 49 216 89 124 146 198 38 26 70 6 224 73 37 7 32 54 159 247 10 105 252 96 201 78 49 231 206 215 161 90 246 239 115 130 175 69 22 115 178 40 81 106 234 152 90
199 188 123 172 46 117 249 66 190 166 208 15 11 75 169 247 78 119 235 15 240 213 161 87 217 31 43 69 225 23 145 117 48 243 105 43 82 42 115 228 252 172 179 219 221
54 11 40 8 47 3 241 253 137 104 241 26 36 209 14 73 179 96 167 20 91 221 22 225 126 165 36 3 7 18 68 33 196 120 163 19 3 61 177 19 158 118 166 138 118 16 45 87 101
154 72 76 12 199 130 08 244 69 137 172 222 238 246 119 36 207 84 171 46 249 69 118 173 147 117 227 55 138 106 189 119 203 157 107 200 247 21 252 244 74 30 183 178
40 52 175 126 46 102 166 186 129 40 106 85 209 157 119 81 157 33 105 218 28 18 18 80 139 173 44 186 87 181 227 219 136 194 133 95 196 100 8 36 195 177 245 162 51
21 246 89 157 171 86 41 170 224 150 22 33 94 242 128 58 234 99 202 68 141 204 14 24 23 140 57 25 69 23 105 27 111 29 117 182 209 29 171 94 186 40 166 44 111 61 101
113 135 233 215 78 42 93 164 72 231 65 133 30 29 16 110 201 44 249 177 65 125 200 103 205 183 107 137 101 37 224 167 217 38 198 145 90 62 27 239 17 120 44 206 144
150 140 65 170 184 219 254 116 139 36 243 190 129 10 149 190 211 62 35 6 152 171 247 85 125 19 138 17 10 159 200 80 248 214 54 43 42 222 172 72 225 51 78 2 210 210
215 52 132 49 61 57 9 199 246 234 147 234 44 164 81 237 106 234 90 162 196 169 210 106 148 243 145 217 36 101 93 245 129 170 59 85 139 215 98 143 71 49 223 74 150
62 178 7 246 243 199 99 166 48 13 45 96 26 156 72 166 47 163 145 141 156 104 128 105 250 97 145 135 202 90 146 201 136 210 85 65 137 225 48 156 249 79 81 157 13
243 113 59 26 231 24 141 78 187 248 212 50 157 251 145 53 218 219 212 121 99 215 70 7 29 76 114 243 147 73 225 92 6 238 86 109 226 66 5 123 203 217 127 14

```

Рисунок 3.25 – Файл .txt с описанием изображений и их отношения к кластерам

В конечном итоге мы получаем сгруппированные изображения, которые можно сохранить в папку, или же просто посмотреть информацию в окне программы (рисунок 3.26, 3.27).

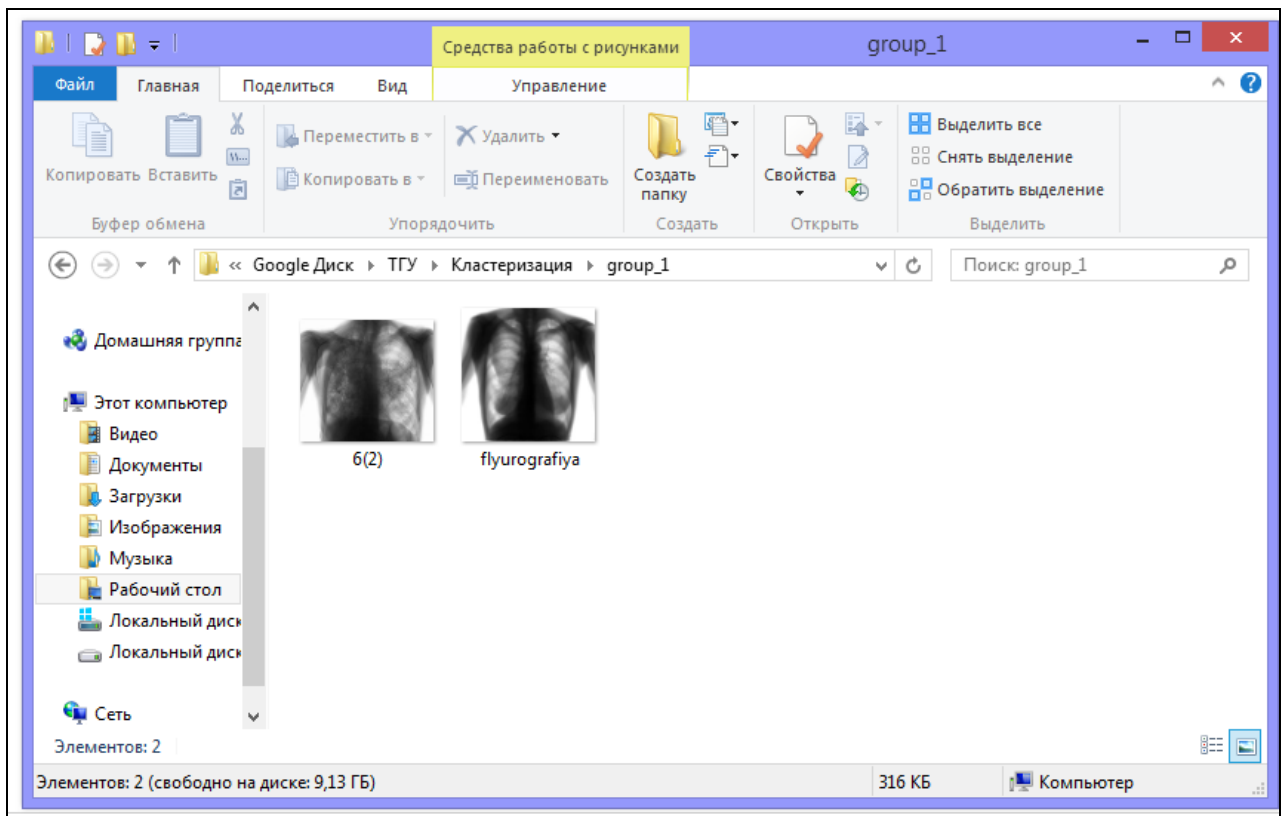


Рисунок 3.26 – Итоговое сохранение всей работы

Здесь уже все изображения соотнесены, и можно назвать с какой вероятностью какое-либо из изображений относится к группе свойств либо здорового человека, либо с заболеванием.

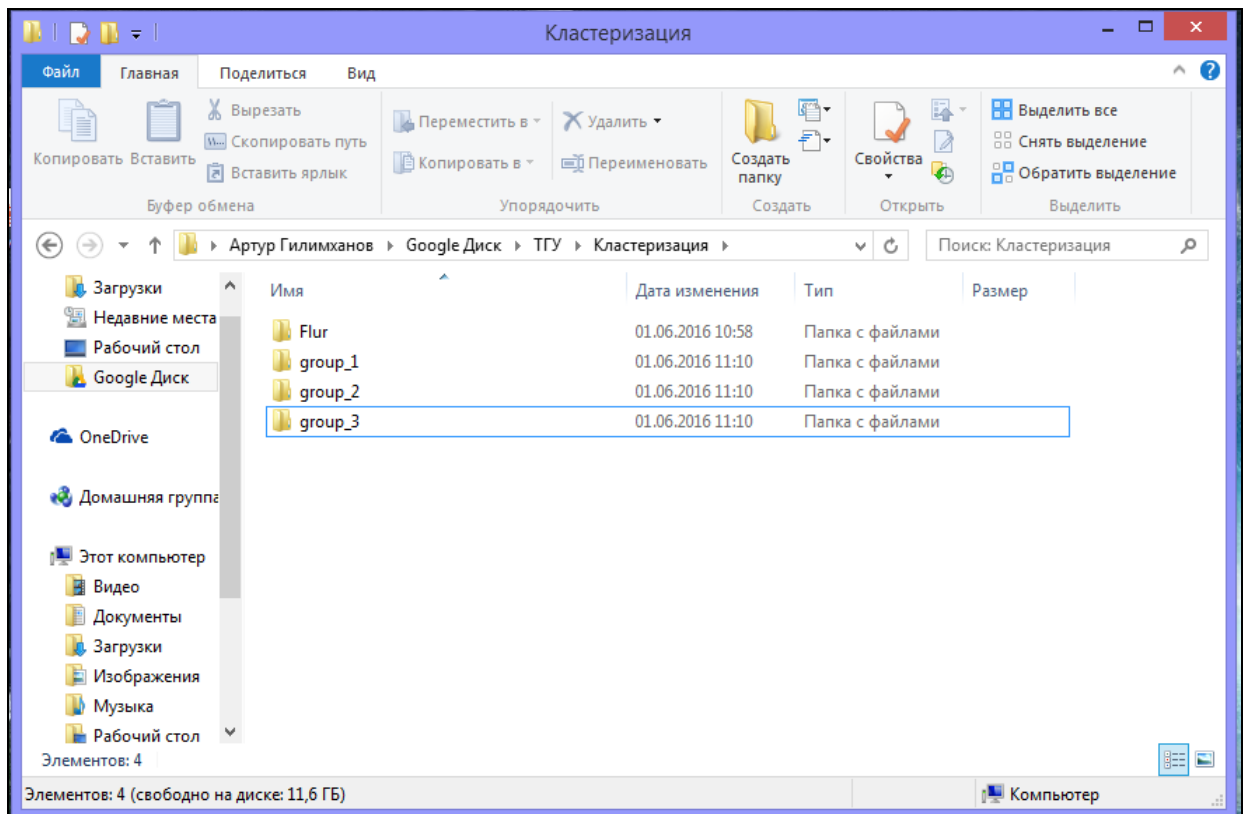


Рисунок 3.27 – Итоговое сохранение всей работы

Также мы получаем папку со всеми изображениями, которые использовались в данном цикле кластеризации (рисунок 3.28).

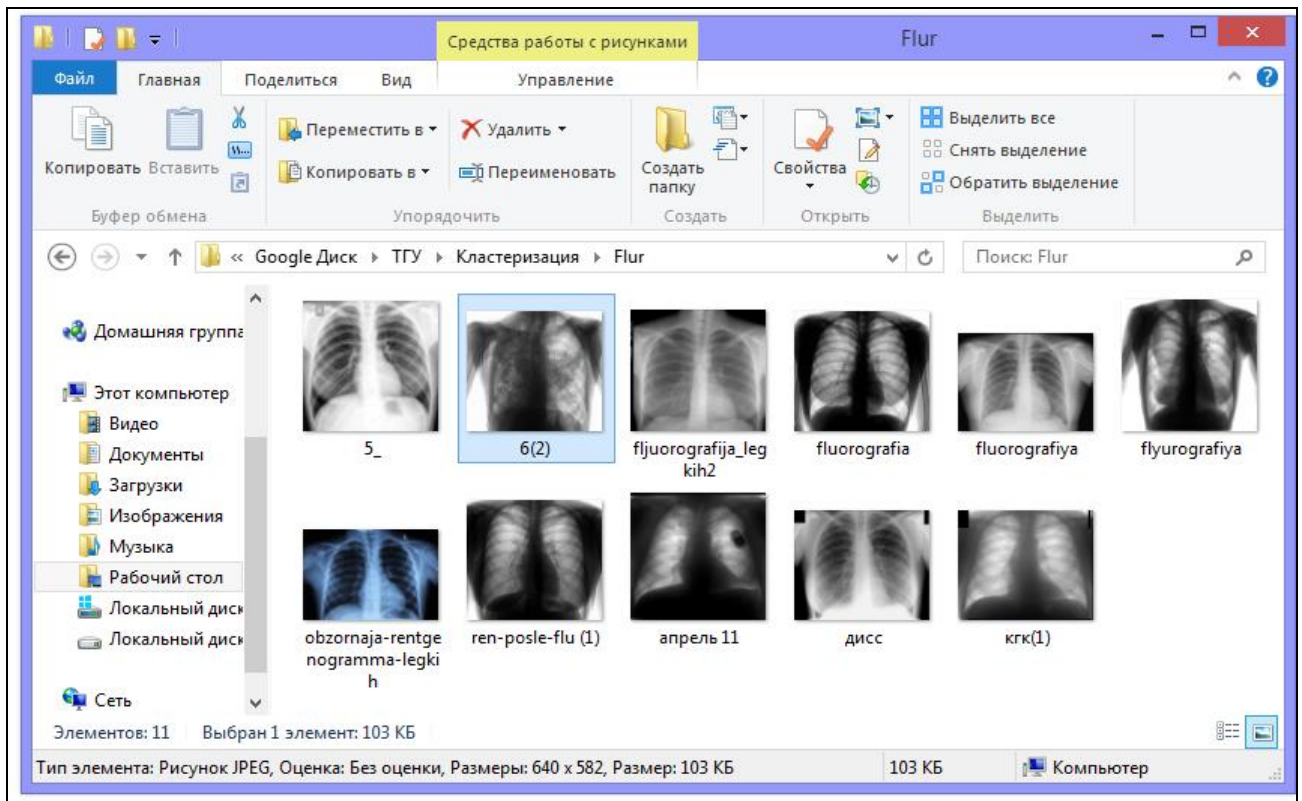


Рисунок 3.28 – Папка со всеми полученными изображениями

3.8 Полученные итоги

Используя мой алгоритм кластеризации, я получил группу изображений. Для сравнения результатов работы, я взял 3 научные иностранные статьи: «CLUE: Cluster-Based Retrieval of Images. by Unsupervised Learning, Yixin Chen, Member, IEEE, James Z. Wang, Member, IEEE, and Robert Krovetz», «A New Hierarchical Approach for Image Clustering. By Lei Wang and Latifur Khan» и «Clustering visually similar images to improve image search engines. By Thomas Deselaers, Daniel Keysers, and Hermann Ney». В данных статьях были получены схожие результаты по кластеризации изображений общего содержания (природа, животные, люди, интерфейсы программы). Однако в данных работах используется более сложный математический аппарат, основанный на алгоритмах Linde-Buzo-Gray, dynamically growing self-organizing tree, Cluster Expander of Compound Graphs.

В нашей работе применяется алгоритм k-means с метрикой Евклида, при этом обеспечиваются такие же результаты кластеризации, как и в работах, приведенных выше (Рисунок 3.29).

Кластеры	Отгруппированные изображения			
1 Кластер				
2 Кластер				
3 Кластер				

Рисунок 3.29 – Полученные кластеры

При попытке использования такого же подхода для кластеризации флюорографических изображений были получены неудовлетворительные результаты, с точки зрения автоматизации диагностики заболеваний (Рисунок 3.30). Это связано с тем, что большую часть имеющихся изображений занимают – позвоночник пациента, его ребра, размерные шкалы и другие элементы, не относящиеся к диагностике заболеваний легких и сердца.

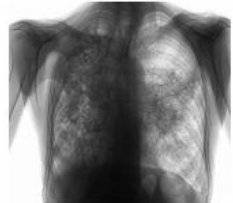
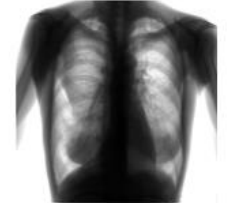
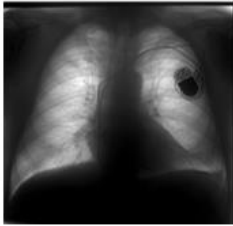
Кластеры	Отгруппированные изображения		
1 Кластер			
2 Кластер			
3 Кластер			

Рисунок 3.30 – Полученные кластеры

Это подтверждает необходимость применения технологий сегментации изображений, т.е. выделений из изображений отдельных ее частей, подвергающихся анализу. Ненужные части при сегментации изображений отбрасываются и поэтому они не оказывают вредного влияния на кластеризацию.

Существуют алгоритмы анализа изображений, включающие в себя этапы сегментации и дальнейшего анализа частей изображения. Данные алгоритмы основаны на технологиях искусственного интеллекта, но их применение для решения поставленной задачи затруднительно, по причине малого количества имеющихся изображений (12 штук) и их низкой детализации, предоставленных из городской клинической больницы №5. То есть, нельзя реализовать обучающую выборку удовлетворительного размера для использования более сложных алгоритмов. Алгоритм k-means не требует обучающей выборки больших размеров.

Заключение

При помощи IDE Microsoft Visual Studio 2015 было создано приложение Windows Forms. Программное обеспечение, которое я реализовал, будет проходить 4 шага кластеризации изображений. Первым шагом она проводит нормализацию изображений к единому виду. После нормализации, мое программное обеспечение проводит кластеризацию. В следствие кластеризации мы сможем дать свойство каждому кластеру, полученному после предыдущего шага. Так же, после всех проделанных шагов работы программы, мы сможем соотносить новое изображение к уже полученной с помощью программы кластерной структуры. Таким образом, мы получили новое решение по применению кластеризации графических изображений, который будет нормализовать и кластеризовать изображения точной метрикой Евклида. После реализации программного обеспечения, я провел кластеризацию изображений общего назначения (природа, люди и автомобили), результат которой был схож с результатами статей «CLUE: Cluster-Based Retrieval of Images. by Unsupervised Learning, Yixin Chen, Member, IEEE, James Z. Wang, Member, IEEE, and Robert Krovetz», «A New Hierarchical Approach for Image Clustering. By Lei Wang and Latifur Khan» и «Clustering visually similar images to improve image search engines. By Thomas Deselaers, Daniel Keysers, and Hermann Ney». То есть результат кластеризации изображений с использованием предложенного подхода оказались удовлетворительными. Однако при использовании такого предложенного подхода к кластеризации флюорографических изображений результаты кластеризации неудовлетворительны, так как требуется сегментация изображений для отсеечения неинформативных, с точки зрения заболеваний, признаков.

Список используемой литературы

1. MSDN – сеть разработчиков Microsoft [Электронный ресурс]: // Электрон. дан. – Windows Forms – Microsoft Corp. - [https://msdn.microsoft.com/ru-ru/library/dd30h2yb\(v=vs.110\).aspx](https://msdn.microsoft.com/ru-ru/library/dd30h2yb(v=vs.110).aspx) (дата обращения 01.02.2015)
2. Image Processing Toolbox– Matlab and Toolboxes [Электронный ресурс]: // Электрон. дан. – Обработка сигналов и изображений – MATLAB.Exponenta - <http://matlab.exponenta.ru/imageprocess/book2/48.php> (дата обращения 01.02.2015)
3. Visual Studio 2015 – Microsoft Corp. [Электронный ресурс]: // Электрон. дан. – Обзор продукта Visual Studio 2015 – Microsoft Corp. - <https://www.visualstudio.com/ru-ru/products/vs-2015-product-editions.aspx> (дата обращения 01.02.2015)
4. BaseGroup Labs – технология анализа данных [Электронный ресурс]: // Электрон. дан. – Алгоритмы кластеризации на службе Data Mining – BaseGroup Labs - <https://basegroup.ru/community/articles/datamining> (дата обращения 01.02.2015)
5. Технологии анализа данных. Data Mining, Visual Mining, Text Mining, OLAP // А. А. Барсегян, М. С. Куприянов, В. В. Степаненко, И. И. Холод , БХВ-Петербург. 2007. С.35.
6. Методы и модели анализа данных: OLAP и Data Mining // А.А. Барсегян, М.С. Куприянов, В.В. Степаненко, И.И. Холод, БХВ-Петербург. 2007. С.12.
7. Бизнес-аналитика: от данных к знаниям // Паклин Н.Б., Орешков В.И. , СПб.: Питер. 2013. С.2
8. Анализ данных и процессов // Барсегян А., Куприянов М., Холод И., Тесс М., Елизаров С. , БХВ-Петербург. 2009. С.12.
9. Информационные технологии анализа данных. Data Analysis // Юрий Петрунин , КДУ 2010. С.87

10. MSDN – сеть разработчиков Microsoft [Электронный ресурс]: // Электрон. дан. - Bitmap - класс (System.Drawing) – Microsoft Corp. - [https://msdn.microsoft.com/ru-ru/library/system.drawing.bitmap\(v=vs.110\).aspx](https://msdn.microsoft.com/ru-ru/library/system.drawing.bitmap(v=vs.110).aspx) (дата обращения 01.02.2015)

11. Цифровая обработка изображений // Рафаэль Гонсалес, Ричард Вудс, Техносфера 2006. С.59

12. Richard P. Lippmann – Information [Electronic resource]: [Информация о докторе Ричарде Липпмане] . – Electronic data. – Cambridge: Massachusetts Institute of Technology. – Mode of access: <https://www.ll.mit.edu/mission/cybersec/cybersec-bios/lippmann-bio.html>

13. Хайкин С. Нейронные сети. Полный курс. 2-е издание / С. Хайкин; пер. с англ. Н.Н. КуССуль и А.Ю. Шелестова, под ред. Н.Н. КуССуль. – 2-е изд. – М.: «Вильямс», 2006. – 1104 с.

14. Koprinkova-Hristova, P. Artificial Neural Networks / Petia Koprinkova-Hristova, Valeri Mladenov, Nikola K. Kasabov. – Springer International Publishing, 2015. – 488 p.

15. Li, S.Z. Hamming Distance / S.Z. Li, A. Jain. – Encyclopedia of Biometrics, 2009. – 668 p.

16. Rigatos, G. G. Advanced Models of Neural Networks / Gerasimos G. Rigatos. – Springer Berlin Heidelberg, 2015. – 396 p.

17. F. Santoyo, E. Chávez, E.S. Téllez, «A Compressed Index for Hamming Distances», Similarity Search and Applications, Oct. 2014, pp. 113-126.

18. Ульман, Л. PHP и MySQL. Создание интернет-магазинов, 2-е изд. / Л. Ульман; пер. с англ. А. Сергеев. – 2-е изд. – М.: «Вильямс», 2015. – 544 с.

19. Бейли, Л. Изучаем SQL / Л. Бейли. – СПб.: Изд-во «Питер», 2012. – 573 с.

20. Прохоренок, Н.А. HTML, JavaScript, PHP и MySQL. Джентльменский набор Web-мастера / Н.А. Прохоренок, В.А. Дронов. – 4-е изд. – СПб.: Изд-во «БХВ-Петербург», 2015. – 766 с.

Код программы

```
using System;
using System.Drawing;
using System.Windows.Forms;
using System.IO;
using System.Drawing.Drawing2D;
using System.Drawing.Imaging;

namespace flu2
{
    public partial class Form1 : Form
    {
        Items[] items;
        double[,] cluster1 = new double[250, 250];
        double[,] cluster2 = new double[250, 250];
        double[,] cluster3 = new double[250, 250];
        public Form1()
        {
            InitializeComponent();
        }
        private void button1_Click(object sender, EventArgs e)
        {
            OpenFileDialog openFileDialog1 = new OpenFileDialog();
            openFileDialog1.Filter = "JPG Files (*.jpg)|*.jpg|BMP Files (*.bmp)|*.bmp|JPEG Files (*.jpeg)|*.jpeg";
            openFileDialog1.FilterIndex = 1;
            openFileDialog1.RestoreDirectory = true;
            openFileDialog1.Multiselect = true;
```

```

if (openFileDialog1.ShowDialog() == DialogResult.OK)
{
    if (openFileDialog1.SafeFileNames.Length < 3)
    {
        MessageBox.Show("Ошибка. Необходимо загрузить не менее
трёх изображений."); return;
    }

    listView1.Items.Clear();
    items = new Items[openFileDialog1.SafeFileNames.Length];

    for (int index = 0; index < openFileDialog1.SafeFileNames.Length;
index++) {
        FileInfo info = new FileInfo(@openFileDialog1.FileNames[index]);

        items[index] = new Items();
        items[index].FileName = info.Name;
        items[index].Path = info.FullName;

        ListViewItem lvi = new ListViewItem(info.Name);
        lvi.SubItems.Add(info.FullName);
        lvi.SubItems.Add("0");
        listView1.Items.Add(lvi);
    }

    Bitmap cl1 = ResizeImage(new Bitmap(@items[0].Path, true), 250,
250);

    Bitmap cl2 = ResizeImage(new Bitmap(@items[1].Path, true), 250,
250);

```

```
Bitmap cl3 = ResizeImage(new Bitmap(@items[2].Path, true), 250,
250);

for(int i = 0; i < 250; i++)
{
    for(int j = 0; j < 250; j++)
    {
        Color pixel = cl1.GetPixel(i, j);
        cluster1[i, j] = Math.Ceiling(ToGray(pixel));
    }
}

for (int i = 0; i < 250; i++)
{
    for (int j = 0; j < 250; j++)
    {
        Color pixel = cl2.GetPixel(i, j);
        cluster2[i, j] = Math.Ceiling(ToGray(pixel));
    }
}

for (int i = 0; i < 250; i++)
{
    for (int j = 0; j < 250; j++)
    {
        Color pixel = cl3.GetPixel(i, j);
        cluster3[i, j] = Math.Ceiling(ToGray(pixel));
    }
}

GC.Collect();
}

private double ToGray(Color pixel)
```

```

    {
        return 0.21 * Convert.ToInt32(pixel.R) + 0.72 *
Convert.ToInt32(pixel.G) + 0.07 * Convert.ToInt32(pixel.B);
    }

private double getDistance(int index, double[,] cluster)
{
    Bitmap img = ResizeImage(new Bitmap(@items[index].Path, true), 250,
250);

    double dist = 0;
    for(int i = 0; i < 250; i++)
    {
        for(int j = 0; j < 250; j++)
        {
            dist += Math.Pow(cluster[i, j] - ToGray(img.GetPixel(i,j)), 2);
        }
    }
    return Math.Sqrt(dist);
}

private void button2_Click(object sender, EventArgs e)
{
    if (items == null) {
        MessageBox.Show("Ошибка. В списке отсутствуют
изображения!"); return;
    }
    double[,] gr1 = new double[250, 250];
    double[,] gr2 = new double[250, 250];
    double[,] gr3 = new double[250, 250];
    do
    {

```

```
for(int i = 0; i < items.Length; i++)
{
    double d1 = 0, d2 = 0, d3 = 0;

    d1 = getDistance(i, cluster1);
    d2 = getDistance(i, cluster2);
    d3 = getDistance(i, cluster3);

    if (d1 < d2 && d1 < d3)
    {
        items[i].Group = 1;
    }
    else if (d2 < d1 && d2 < d3)
    {
        items[i].Group = 2;
    }
    else
    {
        items[i].Group = 3;
    }

    GC.Collect();
}

for(int i = 0; i < 250; i++)
{
    for(int j = 0; j < 250; j++)
    {
        gr1[i,j] = 0;
        gr2[i,j] = 0;
    }
}
```

```

        gr3[i,j] = 0;
    }
}
for(int i = 0; i < items.Length; i++)
{
    Bitmap img = ResizeImage(new Bitmap(@items[i].Path, true), 250,
250);

    int count = getCountGroup(items[i].Group);
    for (int x = 0; x < 250; x++)
    {
        for(int y = 0; y < 250; y++)
        {
            if (items[i].Group == 1)
            {
                gr1[x, y] += ToGray(img.GetPixel(x,y)) / count;
            }else if(items[i].Group == 2)
            {
                gr2[x, y] += ToGray(img.GetPixel(x, y)) / count;
            }else
            {
                gr3[x, y] += ToGray(img.GetPixel(x, y)) / count;
            }
        }
    }
    GC.Collect();
}
GC.Collect();
//MessageBox.Show("Итерация закончена");
} while (difference(gr1, gr2, gr3));
listView1.Items.Clear();

```

```

for (int index = 0; index < items.Length; index++)
{
    ListViewItem lvi = new ListViewItem(items[index].FileName);
    lvi.SubItems.Add(items[index].Path);
    lvi.SubItems.Add(items[index].Group.ToString());
    listView1.Items.Add(lvi);
}
}
private int getCountGroup(int group)
{
    int count = 0;
    for(int i = 0; i < items.Length; i++)
    {
        if(items[i].Group == group)
        {
            count++;
        }
    }
    return count;
}
private bool difference(double[,] c11, double[,] c12, double[,] c13)
{
    bool flag = false;
    for(int i = 0; i < 250; i++)
    {
        for(int j = 0; j < 250; j++)
        {
            if (cluster1[i, j] != Math.Ceiling(c11[i, j])) flag = true;
            cluster1[i, j] = Math.Ceiling(c11[i, j]);
        }
    }
}

```

```

    }
}
for (int i = 0; i < 250; i++)
{
    for (int j = 0; j < 250; j++)
    {
        if (cluster2[i, j] != Math.Ceiling(cl2[i, j])) flag = true;
        cluster2[i, j] = Math.Ceiling(cl2[i, j]);
    }
}
for (int i = 0; i < 250; i++)
{
    for (int j = 0; j < 250; j++)
    {
        if (cluster3[i, j] != Math.Ceiling(cl3[i, j])) flag = true;
        cluster3[i, j] = Math.Ceiling(cl3[i, j]);
    }
}
return flag;
}
private Bitmap ResizeImage(Image image, int width, int height)
{
    var destRect = new Rectangle(0, 0, width, height);
    var destImage = new Bitmap(width, height);
    destImage.SetResolution(image.HorizontalResolution,
image.VerticalResolution);
    using (var graphics = Graphics.FromImage(destImage))
    {
        graphics.CompositingMode = CompositingMode.SourceCopy;
        graphics.CompositingQuality = CompositingQuality.HighQuality;

```

```
graphics.InterpolationMode = InterpolationMode.HighQualityBicubic;
graphics.SmoothingMode = SmoothingMode.HighQuality;
graphics.PixelOffsetMode = PixelOffsetMode.HighQuality;
using (var wrapMode = new ImageAttributes())
{
    wrapMode.SetWrapMode(WrapMode.TileFlipXY);
    graphics.DrawImage(image, destRect, 0, 0, image.Width,
image.Height, GraphicsUnit.Pixel, wrapMode);
}
}
return destImage;
}
private void button3_Click(object sender, EventArgs e)
{
    FolderBrowserDialog openFolderDialog = new FolderBrowserDialog();
    String path = "";
    if (openFolderDialog.ShowDialog() == DialogResult.OK)
    {
        path = openFolderDialog.SelectedPath;
    }
    try
    {
        Directory.Delete(Path.Combine(path, "group_1"), true);
    }
    catch { }
    try
    {
        Directory.Delete(Path.Combine(path, "group_2"), true);
    }
    catch { }
```

```
try
{
    Directory.Delete(Path.Combine(path, "group_2"), true);
}
catch { }
for (int i = 0; i < items.Length; i++)
{
    String subfolder = Path.Combine(path,
"group_" + items[i].Group.ToString());
    if (!File.Exists(subfolder))
    {
        Directory.CreateDirectory(subfolder);
    }
    Bitmap img = new Bitmap(@items[i].Path, true);
    img.Save(@subfolder + "\\ " + items[i].FileName);
}
MessageBox.Show("Файлы успешно сохранены.");
}
}
}
```